

Možnosti komunikace klient-server v TOR sítích

Šimon Boškovič

Bakalářská práce
2018

 Univerzita Tomáše Bati ve Zlíně
Fakulta aplikované informatiky

Univerzita Tomáše Bati ve Zlíně
Fakulta aplikované informatiky
akademický rok: 2017/2018

ZADÁNÍ BAKALÁŘSKÉ PRÁCE

(PROJEKTU, UMĚLECKÉHO DÍLA, UMĚLECKÉHO VÝKONU)

Jméno a příjmení: Šimon Boškovič
Osobní číslo: A14076
Studijní program: B3902 Inženýrská informatika
Studijní obor: Informační a řídicí technologie
Forma studia: prezenční

Téma práce: Možnosti komunikace klient-server v TOR sítích

Téma anglicky: Client-server Communication Options in the TOR Network

Zásady pro vypracování:

1. Popište základní schéma TOR komunikace a principy anonymizace uživatelů.
2. Pomocí zachycené komunikace zhodnoťte, zda proces odpovídá principům popsaných v bodě 1.
3. Specifikujte slabé místa anonymizačního procesu.
4. Pomocí testů zjistěte stabilitu spojení.
5. Navrhněte další možnosti rozšíření anonymizace uživatelů.

Rozsah bakalářské práce:

Rozsah příloh:

Forma zpracování bakalářské práce: **tištěná/elektronická**

Seznam odborné literatury:

1. OREBAUGH, Angela. Wireshark a Ethereal: kompletní průvodce analýzou a diagnostikou sítí. Brno: Computer Press, 2008. ISBN 9788025120484.
2. Tor Project – online. Seattle, WA USA: The Tor Project, 2002 ,cit. 2017–11–19. Dostupné z: www.torproject.org ISBN 788025104170
3. PUŽMANOVÁ, Rita. Bezpečnost bezdrátové komunikace: jak zabezpečit wi-fi, bluetooth, GPRS či 3G. Brno: Computer Press, 2005. ISBN 9788025107911
4. BURDA, Karel. Úvod do kryptografie. Brno: Akademické nakladatelství CERM, 2015. ISBN 9788072049257
5. JIROUŠEK, Radím. Principy digitální komunikace. Voznice: Leda, 2006. ISBN 9788073350840

Vedoucí bakalářské práce:

Ing. David Malaník, Ph.D.

Ústav informatiky a umělé inteligence

Datum zadání bakalářské práce:

15. prosince 2017

Termín odevzdání bakalářské práce:

25. května 2018

Ve Zlíně dne 15. prosince 2017



doc. Mgr. Milan Adámek, Ph.D.
děkan



prof. Ing. Vladimír Vašek, CSc.
ředitel ústavu


Prohlašuji, že

- beru na vědomí, že odevzdáním bakalářské práce souhlasím se zveřejněním své práce podle zákona č. 111/1998 Sb. o vysokých školách a o změně a doplnění dalších zákonů (zákon o vysokých školách), ve znění pozdějších právních předpisů, bez ohledu na výsledek obhajoby;
- beru na vědomí, že bakalářská práce bude uložena v elektronické podobě v univerzitním informačním systému dostupná k prezenčnímu nahlédnutí, že jeden výtisk diplomové/bakalářské práce bude uložen v příruční knihovně Fakulty aplikované informatiky Univerzity Tomáše Bati ve Zlíně a jeden výtisk bude uložen u vedoucího práce;
- byl/a jsem seznámen/a s tím, že na moji bakalářskou práci se plně vztahuje zákon č. 121/2000 Sb. o právu autorském, o právech souvisejících s právem autorským a o změně některých zákonů (autorský zákon) ve znění pozdějších právních předpisů, zejm. § 35 odst. 3;
- beru na vědomí, že podle § 60 odst. 1 autorského zákona má UTB ve Zlíně právo na uzavření licenční smlouvy o užití školního díla v rozsahu § 12 odst. 4 autorského zákona;
- beru na vědomí, že podle § 60 odst. 2 a 3 autorského zákona mohu užít své dílo – diplomovou/bakalářskou práci nebo poskytnout licenci k jejímu využití jen připouští-li tak licenční smlouva uzavřená mezi mnou a Univerzitou Tomáše Bati ve Zlíně s tím, že vyrovnání případného přiměřeného příspěvku na úhradu nákladů, které byly Univerzitou Tomáše Bati ve Zlíně na vytvoření díla vynaloženy (až do jejich skutečné výše) bude rovněž předmětem této licenční smlouvy;
- beru na vědomí, že pokud bylo k vypracování bakalářské práce využito softwaru poskytnutého Univerzitou Tomáše Bati ve Zlíně nebo jinými subjekty pouze ke studijním a výzkumným účelům (tedy pouze k nekomerčnímu využití), nelze výsledky bakalářské práce využít ke komerčním účelům;
- beru na vědomí, že pokud je výstupem bakalářské práce jakýkoliv softwarový produkt, považují se za součást práce rovněž i zdrojové kódy, popř. soubory, ze kterých se projekt skládá. Neodevzdání této součásti může být důvodem k neobhájení práce.

Prohlašuji,

- že jsem na bakalářské práci pracoval samostatně a použitou literaturu jsem citoval. V případě publikace výsledků budu uveden jako spoluautor.
- že odevzdaná verze bakalářské práce a verze elektronická nahraná do IS/STAG jsou totožné.

Ve Zlíně, dne 22.5.2018


.....
podpis diplomanta

ABSTRAKT

Bakalářská práce se zabývá možnostmi skrytí komunikace v síti Tor. Jsou popsány technické specifikace od skupiny The Tor Project, jejíž principy jsou následně prokázány v několika praktických testech. Kromě ověření bezpečnostní vrstvy byl dbán také důraz na zhodnocení kvality připojení a jeho stabilitu. V závěru práce jsou zmíněny také vylepšení, které by mohly zvýšit bezpečnost této anonymizační vrstvy a uživatelský komfort.

Klíčová slova: Síť Tor, Anonymní komunikace, Cibulové směrování, Analýza síťové komunikace, Asymetrické šifrování.

ABSTRACT

The Bachelor thesis is focused on possibilities of hiding communication in the Tor network. Technical specifications from The Tor Project are described, the principles of which are then demonstrated in several practical tests. In addition to verifying quality of security layer, emphasis was also placed on stability and bandwidth of the connection. At the end of this work are mentioned improvements, which could increase safety and user comfort of this anonymous layer.

Keywords: Tor network, Anonymous communication, Onion routing, Analysis of communication network, Asymmetric cryptography

Velké poděkování patří hlavně panu Ing. Davidu Malaníkov Ph.D. za pomoc při zpracování bakalářské práce, cenné rady a bezproblémové jednání.

OBSAH

ÚVOD	8
I TEORETICKÁ ČÁST	9
1 ANONYMITA V INTERNETU	10
1.1 ONION ROUTING	10
1.2 PRVKY SÍTĚ TOR.....	13
II PRAKTICKÁ ČÁST	14
2 TESTOVÁNÍ OKRUHU SÍTĚ	15
2.1 PRVNÍ TEST.....	17
2.2 DRUHÝ TEST	21
2.3 POSTRANNÍ KANÁL V SÍTI	24
2.4 ZHODNOCENÍ VÝSLEDKŮ MĚŘENÍ	26
2.4.1 Bezpečnost délky klíče.....	26
3 TESTY STABILITY SPOJENÍ	28
3.1 PRVNÍ TEST.....	28
3.2 DRUHÝ TEST	29
3.3 TŘETÍ TEST	30
3.4 ČTVRTÝ TEST	30
3.5 VÝSLEDKY MĚŘENÍ TESTŮ STABILITY	31
4 ROZŠÍŘENÍ ANONYMIZAČNÍCH TECHNIK	33
4.1 ZVĚTŠENÍ UŽIVATELSKÉ KOMUNITY	33
4.2 ZVĚTŠENÍ DÉLKY POUŽÍVANÉHO KLÍČE.....	33
4.3 ZAMEZENÍ SÍŤOVÉHO PROVOZU OSTATNÍCH PROGRAMŮ	34
ZÁVĚR	35
SEZNAM POUŽITÉ LITERATURY	36
SEZNAM POUŽITÝCH SYMBOLŮ A ZKRATEK	38
SEZNAM OBRÁZKŮ	39
SEZNAM TABULEK	41

ÚVOD

V dnešní době rozvinutých informačních a komunikačních technologií si jen stěží dokážeme představit život bez internetu. Internet nám umožňuje každodenní přístup ke všem informacím, a také nám dává možnost komunikovat prostřednictvím sociálních sítí mezi sebou. Internet je dynamické místo, které se vyvíjí každým dnem, v případě jakéhokoliv konfliktu, války, nebo třeba živelné katastrofy se díky internetu dozvíme o nich téměř ihned. Internet se tedy může na první pohled jevit jako bezpečné místo, kde se shromažďují veškeré informace o aktuálním i předešlém dění ve světě. Mnoho lidí si ovšem neuvědomuje fakt, že po každém z nás zůstává na internetu spousta informací, které si může každý schopnější člověk, který se pohybuje na internetu, snadno dohledat.

Tato bakalářská práce se bude zabývat anonymitou uživatelů v prostředí sítě internet. Bude zkoumat, zda je opravdu síť TOR tak anonymní, jak je popisována.

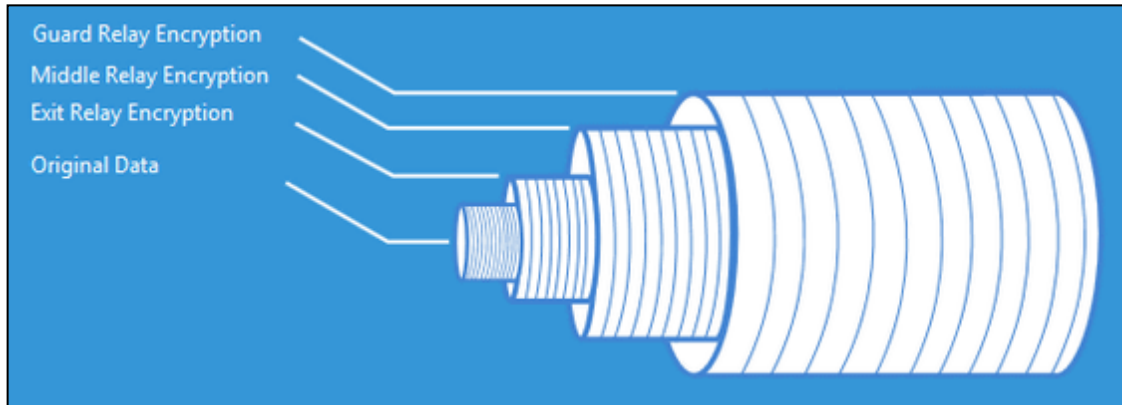
I. TEORETICKÁ ČÁST

1 ANONYMITA V INTERNETU

Slovo anonymita je v dnešní době dosti aktuální a diskutované téma. Doslovný překlad slova anonymita pochází z řeckého slova *anonymia* a v informačních technologiích je tento význam slova chápán jako vlastnost systému, která dovoluje použití služeb a zdrojů bez zjištění identity uživatele tohoto systému. Internet jako takový se může jevit jako bezpečné a anonymní místo. Člověku se může zdát, že je za monitorem obrazovky bezpečně ukryt před okolním světem, a že mu z internetu nic nehrozí. Lidé si ve svém osobním životě soukromé informace tají, nebo je sdělují jen těm lidem, kterým doopravdy věří. Ve světě internetu je tomu ovšem jinak, vývojem sociálních a jiných sítí se úroveň soukromí dramaticky zhoršila. Na sociálních sítích lidé vystupují pod reálnými jmény, přidávají fotografie svých aut, svého domu, velmi často sdílí svoji aktuální polohu, což může budoucímu útočníkovi nahrát do karet. [1]

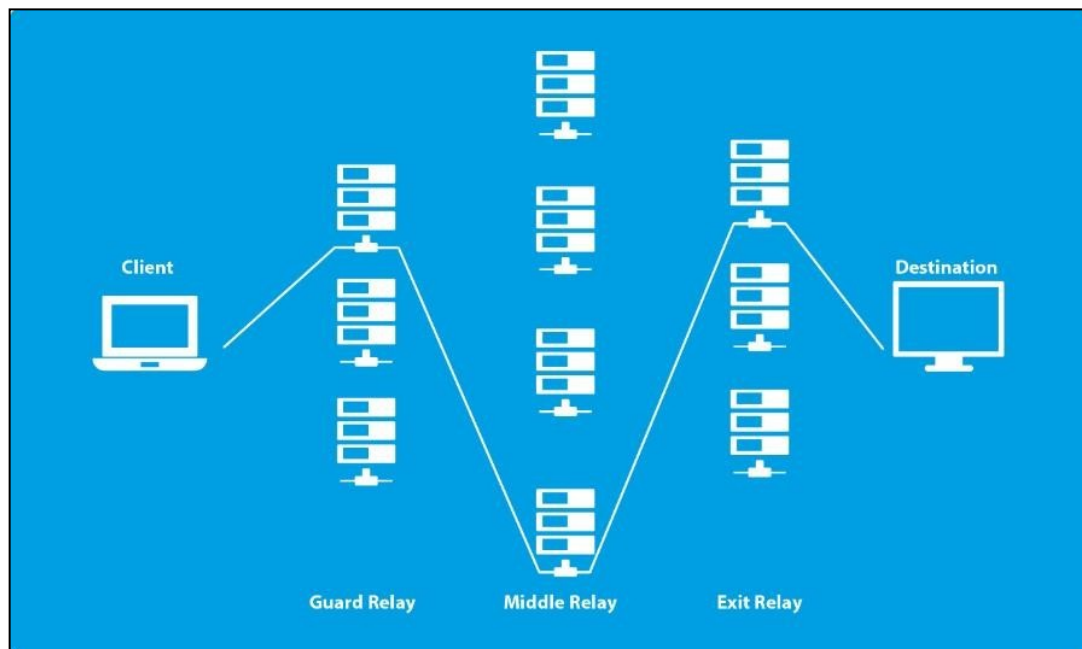
1.1 Onion Routing

Vznik TOR sítě se datuje v druhé polovině 90. let 20. století a jejím cílem bylo zabezpečit odposlech vládní a armádní komunikace ve Spojených státech amerických. Později se však tato komunikace rozšířila od americké armády k veřejnosti. Do sítě TOR se může připojit skutečně každý, je to naprosto bezplatné. Stačí si stáhnout webový prohlížeč ze stránek <https://www.torproject.org/>. Tento prohlížeč je navíc dostupný pro všechny systémové platformy, takže není problém s kompatibilitou. Na rozdíl od klasického směrování na internetu, které má za cíl najít tu nejlepší cestu pro doručení zprávy je Onion routing navržen tak, že představuje obecné řešení anonymizace. Pokud ale používáme klasickou komunikaci postavenou na protokolu IP, pak pakety putující sítí, obsahují zdrojovou i cílovou IP adresu, což zcela vylučuje anonymitu. Pokud je komunikace na internetu zprostředkována mezi dvěma nebo více počítači, tak jsou jednotlivé zprávy přednášeny pomocí datagramů. Každý z datagramu obsahuje zdrojovou a cílovou IP adresu, z čehož plyne, že na libovolném uzlu, přes který prochází naše data, jde získat zdrojovou i cílovou IP adresu. Pokud si tedy chceme zajistit na síti anonymitu, bude zapotřebí použít některou s anonymizujícími technik, která zabraňuje získávání IP adres. Tuto problematiku řeší síť Tor, která odeslané data zabaluje do jednotlivých slupek podobajících se cibuli (od toho název Onion).



Obrázek č. 1 - Zapouzdření dat v síti [3]

Celou síť tvoří skupina dobrovolníků, kteří představují v síti uzly, které buďto předávají data dále po síti, nebo se jedná o uzly, které zprostředkovávají komunikaci s vnějším internetem. Pokud se tedy připojíme do sítě, vytvoří se spojení, které obsahuje tři výchozí body, z nichž první dva uzly zprostředkovávají komunikaci mezi sebou, a poslední uzel komunikuje s výstupním serverem.



Obrázek č. 2 - Typy uzlů v Tor síti [3]

Pokud tedy odešleme požadavek na server, naše data se zašifrují a odešlou k prvnímu uzlu. Ten zná pouze naši IP adresu, ale obsah dat, který odesíláme, je šifrován. V dalším bodě dorazí naše data ke druhému uzlu, který již nezná ani naši IP adresu, ani obsah dat ale ví pouze, kam má data předat. Teprve až konečný uzel rozšifruje obsah zprávy, ovšem ten již nezná adresu odesilatele a pouze předá data do přístupného internetu. Tento princip činnosti

prakticky vylučuje jakýkoliv odposlech sítě, jelikož žádný z uzlů nevidí dále než před sebe tj. pouze ví, kam má data dále poslat, ale již neví, odkud data přišla. Jediná možnost je ta, že by případný útočník měl pod kontrolou všechny tři uzly, což je ale vzhledem k velikosti sítě velmi nepravděpodobné. [2] [3]

Jak již bylo řečeno, síť Tor používá ke své funkci takzvané uzly. V současné době je funkčních asi 6 000 uzlů, které jsou rozmístěny po celém světě. Samotné uzly představují lidé, kteří dobrovolně propůjčují svoji šířku internetového pásma jakožto uzel v síti. Tyto uzly v síti nemají žádný speciální hardware, ale pouze konfigurační software přímo od Toru. Software, který Tor používá je volně dostupný včetně zdrojového kódu, takže je možno jej modifikovat dle svých potřeb. Celá síť se neustále rozrůstá, přibývají nové a nové uzly, což v praxi znamená, že bude daleko větší problém vystopovat jednotlivé uživatele, protože bude více cest, ze kterých si bude možnost vybrat. [4]



Obrázek č. 3 - Tor směrovače ve světě [21]

K šifrování dat se používá kryptografický protokol TLS (*Transport Layer Security*). Po navázání spojení mezi dvěma uzly si můžou navzájem prokázat totožnost druhé strany na základě certifikátu. Při vytváření spojovací cesty se používá asymetrické šifrování, které funguje na veřejném a soukromém klíči. Veřejný klíč je součástí certifikátu a používá se taky jako ověření identity stanice. Z principu asymetrického šifrování je zřejmé, že všechna

data jsou zašifrována veřejným klíčem a rozšifrována mohou být jen pomocí soukromého klíče druhé strany. Pokud nemáme odpovídající soukromý klíč k šifrované zprávě, tak je jakékoliv rozšifrování dat vyloučeno. [5] [6]

1.2 Prvky sítě Tor

Adresářový server (*directory servers*) V síti tor funguje více adresářových serverů z důvodu bezpečnosti a každý z nich má svůj podepisovací kryptologický systém. Adresářový systém udržuje seznam aktivních uzlů v síti a také obsahuje informace pro ostatní prvky sítě.

Směrovač sítě (*onion router*) Vytváří spojovací uzly v síti Tor a zároveň zprostředkovávají komunikaci na síti.

Skryté služby (*hidden services*) Cílem je, aby při komunikaci se serverem neznal klient IP adresu serveru a naopak. Pokud by klient znal IP adresu serveru, na kterou přistupuje, mohlo by docházet častěji k tzv. DDos útokům. Skrytou službu si lze představit jako intranet celé sítě. Můžete zde vytvářet vlastní webové stránky a další věci.

Mosty (*bridges*) Jedná se o směrovače, které nejsou uvedeny v hlavním adresáři Tor. V některých zemích můžou poskytovatelé internetového připojení záměrně blokovat hlavní směrovače sítě, ale nemohou blokovat tzv. mosty, o kterých dodnes neexistuje kompletní seznam. [7]

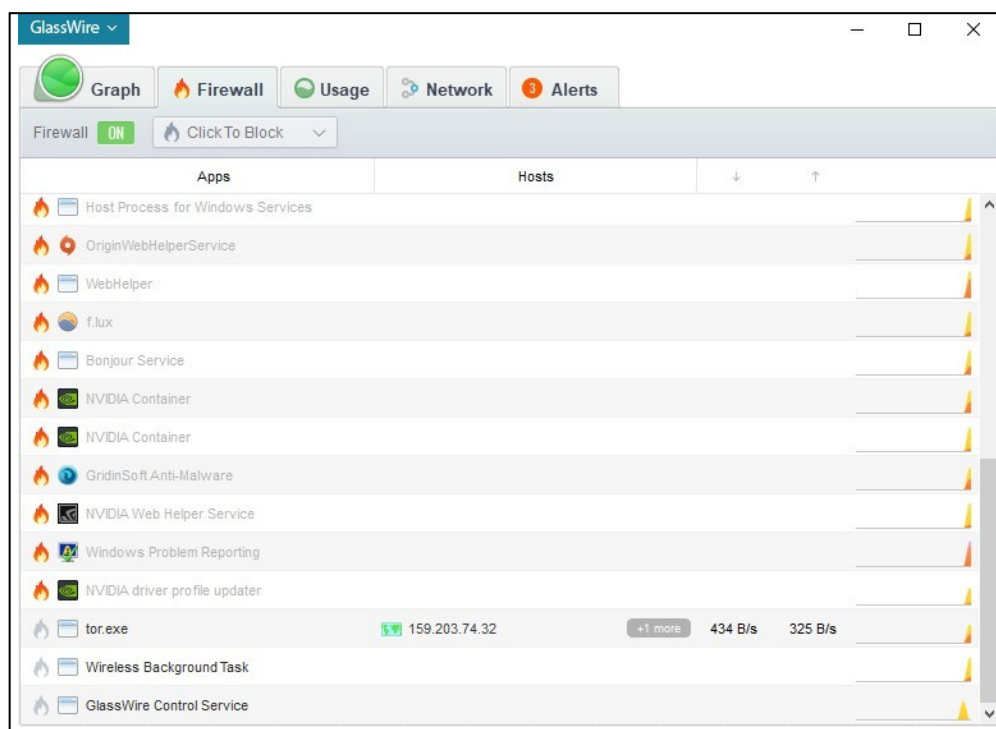
Vstupní strážci (*entry guards*) Může nastat situace, kdy útočník kontroluje směrovač, který jsme si vybrali pro vstup do sítě, a zároveň sleduje námi navštěvované stránky. Z tohoto důvodu se používají tzv. vstupní strážci, kteří fungují jako dlouho stabilní běžící uzly, ze kterých si klienti vybírají začáteční cestu v síti.

Maskování síťového provozu (*traffic morphing*) V případě odposlechu sítě lze zjistit, že TCP pakety v síti Tor mají nejčastější velikost 586 bytů, což by mohlo vést k odhalení provozu. Tor tedy používá tzv. transformace charakteristik síťového provozu, mezi které patří např. odlišná délka paketových mezer, změna rozložení délek, apod. [8] [9]

II. PRAKTICKÁ ČÁST

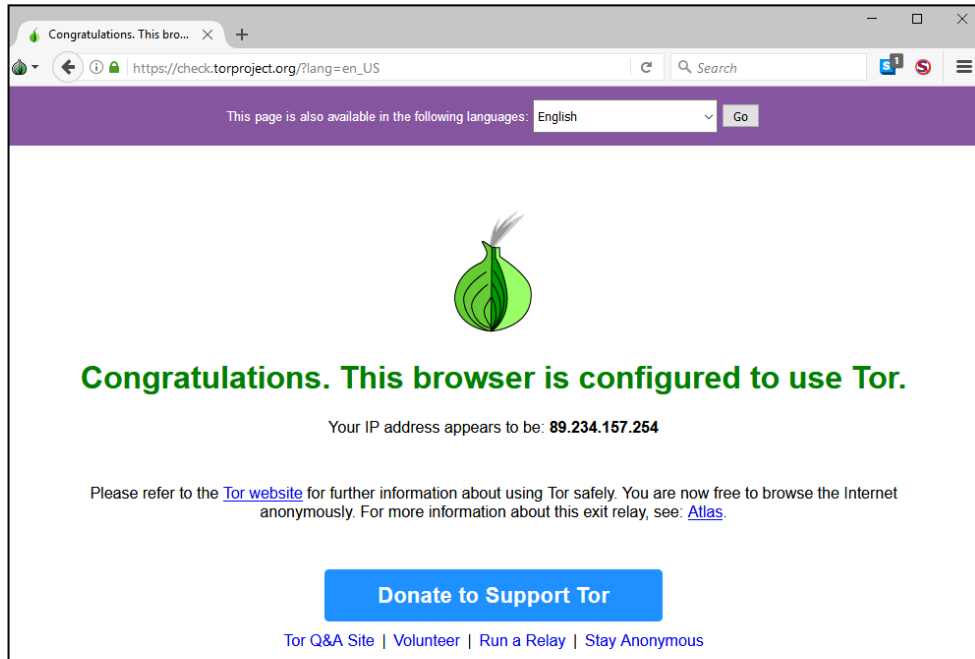
2 TESTOVÁNÍ OKRUHU SÍTĚ

Pro sledování komunikace, která na síti probíhá, bude použit program WireShark, který patří mezi ty nejčastěji používané analyzátoři a paketové sniffery. Podporuje více než 750 síťových protokolů a další jsou přidávány lidmi, kteří na projektu WireShark spolupracují. Po zapnutí programu a připojení do sítě, se zobrazí obrovské množství protokolů, mezi kterými je potřeba najít ty správné. Pro pomoc při filtrování bude použit program GlassWire, který obsahuje firewall, díky kterému je možno zablokovat veškerý síťový provoz všech spuštěných aplikací, které právě běží. Na obrázku č. 4 je možno vidět blokováný provoz všech spuštěných aplikací. Vyfiltrované pakety přes WireShark mohou mít shodné přenosové protokoly, které používá Tor Browser, tudíž by bylo nutné mezi nimi hledat ty správné. Proto je lepší si datovou komunikaci programu na síti zablokovat a nechat povolené jen ty, které pochází s Toru. [10]



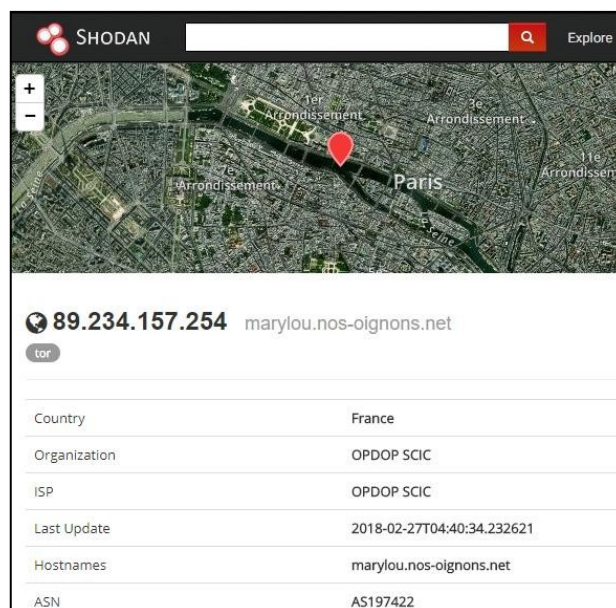
Obrázek č. 4 – Blokováný síťový provoz programem GlassWire

Při zapnutí Tor Browseru je možnost pod tlačítkem *Test Tor Network Settings* otestovat, zda je prohlížeč správně nakonfigurován k použití sítě. Je zde uvedena i IP adresa, která ovšem jakkoliv nesouvisí s adresou konkrétního uživatele. A to proto, že pokud tuto IP adresu použijeme jakožto zdrojovou IP adresu v programu WireShark a jako cílovou nastavíme první uzel, přes který prochází komunikace, pak program nezaznamená žádný pohyb paketů po síti.



Obrázek č. 5 – Test internetového nastavení v prohlížeči Tor

Z několika testů, které byly provedeny, vyplynulo, že IP adresy, které Tor generuje, pochází z Paříže, nebo z jeho předměstí. Na obrázků č. 6 lze vidět lokalitu dané IP adresy, kterou Tor přidělil prohlížeči.

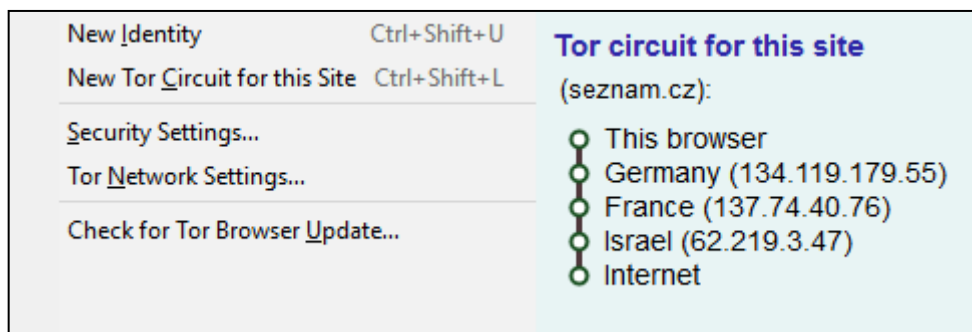


Obrázek č. 6 – Lokalita IP adresy [22]

Z principu činnosti celého systému, na kterém Tor pracuje, vyplývá, že by jednotlivé uzly neměly vidět dále, než před sebe a tedy, že komunikaci bude možno zaznamenat pouze mezi zdrojem a prvním uzlem tedy mezi *entry guard*. Komunikace mezi prvním a druhým uzlem, druhým a třetím uzlem, ani mezi prvním a třetím uzlem by teoreticky neměla být zjištěna.

Po zapnutí prohlížeče nám Tor přidělí tři IP adresy, s čehož první je vstupní uzel, druhý je prostřední uzel a třetí je výstupní uzel. Bylo vyzpozorováno, že IP adresa prvního, tedy vstupního uzlu se pro daný prohlížeč mění jen zřídka. Ovšem IP adresa prostředního a výstupního uzlu se mění zhruba každé 3 minuty, což znamená, že je potřeba jednotlivé testy udělat co nejrychleji, aby se uzly nestihly změnit.

2.1 První test



Obrázek č. 7 - Propojovací okruh v prvním testu

Pro testování síťové komunikace bude použita adresa zdroje a adresa prvního cíle, tedy **134.119.179.55**. Příkazem `ip.src==ip.src` nastavíme zdrojovou adresu na náš počítač a následně příkazem `ip.dst==134.119.179.55` nastavíme program tak, aby komunikace probíhala pouze mezi zdrojem a prvním uzlem. Jednotlivý princip komunikace se bude opakovat pro každý uzel zvlášť. V druhém bodě bude nastavena stejná adresa zdroje a změní se pouze cíl, který bude odpovídat IP adresy Francie a ve třetím kroku IP adrese Israele. V jednotlivých mezikrocích bude testován i obrácený postup, tedy že jako adresa zdroje bude nastaven jednotlivý uzel, jelikož zde musí být ošetřeno i to, že i při zpáteční cestě datagramu nelze komunikaci zachytit. Komunikaci, která probíhá od veřejného internetu k jednotlivému uživateli zpět, by měla jít zachytit pouze mezi vstupním uzlem a zdrojem.

The screenshot shows the Wireshark interface with a capture filter set to `ip.src == ip.src && ip.dst == 134.119.179.55`. The packet list pane displays 39 captured packets, all of which are TCP segments from source 192.168.0.103 to destination 134.119.179.55. The selected packet (No. 9) is a TCP ACK segment with sequence number 59754644, acknowledgment number 9001, and window size 2132. The packet details pane shows the Ethernet II, Internet Protocol Version 4, and Transmission Control Protocol layers. The raw data pane displays the hexadecimal and ASCII representation of the captured data.

No.	Time	Source	Destination	Protocol	Length	Info
9	2.611700	192.168.0.103	134.119.179.55	TCP	597	59754644 → 9001 [PSH, ACK] Seq=1 Ack=1 Win=2132 Len=543
11	2.644120	192.168.0.103	134.119.179.55	TCP	597	59754644 → 9001 [PSH, ACK] Seq=544 Ack=1 Win=2132 Len=543
13	2.741940	192.168.0.103	134.119.179.55	TCP	597	59754644 → 9001 [PSH, ACK] Seq=1087 Ack=1 Win=2132 Len=543
15	2.771145	192.168.0.103	134.119.179.55	TCP	597	59754644 → 9001 [PSH, ACK] Seq=1630 Ack=1 Win=2132 Len=543
18	2.873193	192.168.0.103	134.119.179.55	TCP	54	5454644 → 9001 [ACK] Seq=2173 Ack=544 Win=2130 Len=0
20	2.903733	192.168.0.103	134.119.179.55	TCP	54	5454644 → 9001 [ACK] Seq=2173 Ack=1630 Win=2132 Len=0
22	2.993370	192.168.0.103	134.119.179.55	TCP	54	5454644 → 9001 [ACK] Seq=2173 Ack=2173 Win=2130 Len=0
24	2.995973	192.168.0.103	134.119.179.55	TCP	54	5454644 → 9001 [ACK] Seq=2173 Ack=3633 Win=2132 Len=0
26	2.995573	192.168.0.103	134.119.179.55	TCP	54	5454644 → 9001 [ACK] Seq=2173 Ack=5093 Win=2132 Len=0
29	3.024662	192.168.0.103	134.119.179.55	TCP	54	5454644 → 9001 [ACK] Seq=2173 Ack=5286 Win=2132 Len=0
30	3.037255	192.168.0.103	134.119.179.55	TCP	597	59754644 → 9001 [PSH, ACK] Seq=2173 Ack=5286 Win=2132 Len=543
32	3.066987	192.168.0.103	134.119.179.55	TCP	597	59754644 → 9001 [PSH, ACK] Seq=2716 Ack=5286 Win=2132 Len=543
35	3.348172	192.168.0.103	134.119.179.55	TCP	54	5454644 → 9001 [ACK] Seq=3259 Ack=5829 Win=2130 Len=0
37	3.473647	192.168.0.103	134.119.179.55	TCP	54	5454644 → 9001 [ACK] Seq=3259 Ack=6372 Win=2127 Len=0
39	3.474815	192.168.0.103	134.119.179.55	TCP	54	5454644 → 9001 [ACK] Seq=3259 Ack=7832 Win=2132 Len=0

Packet 9 details:

- Frame 9: 597 bytes on wire (4776 bits), 597 bytes captured (4776 bits) on interface 0
- Ethernet II, Src: AsustekC_7f:5c:21 (74:d0:2b:7f:5c:21), Dst: Tp-LinkT_82:59:2e (a0:f3:c1:82:59:2e)
- Internet Protocol Version 4, Src: 192.168.0.103, Dst: 134.119.179.55
- Transmission Control Protocol, Src Port: 54644, Dst Port: 9001, Seq: 1, Ack: 1, Len: 543
- Data (543 bytes)
- Data: 170303021ac64b14fa5101f2750b263688c058bd7333affb...
- [Length: 543]

Raw data (hex/ASCII):

```

0030 08 54 fc f7 00 00 17 03 03 02 1a c6 4b 14 fa 51 .T.....K...C
0040 01 f2 75 0b 26 36 88 c0 58 bd 73 33 af fb aa eb .u.&6...X.s3...
0050 7d eb 96 9e 17 9a a5 f9 19 c3 27 cb 49 a7 04 72 }.....I...r
0060 76 27 76 17 d8 42 58 c7 12 a3 a7 3b 4a 3c de 09 V.v.BX...j<...
0070 25 7a b9 25 00 e7 ac 41 0e 2f 81 e8 11 69 f6 4b %e.X...A...iK
0080 50 b7 f8 54 76 54 a5 f3 55 4e 36 a5 8e 27 12 f7 P...TVE,UM6...
0090 ae 89 de 34 df 01 91 b6 4f 7a 33 49 d2 ea 51 d2 .4....0z3l.0.
00a0 c5 6e ce 37 00 21 60 1e 5e 9b e0 de 2c 4c b8 7b .n.7.!^...L[
00b0 39 36 11 82 be 8f aa dd 57 46 83 15 1d a9 91 3d 96.....WF.....=
00c0 64 ac 7d ca a4 06 df 8d cd 75 86 7f 2e bd 77 17 d.....u...w.
00d0 77 39 2e f1 df 44 77 2c 11 69 68 de 72 b5 60 ed w9...Dw...ih.r'.
00e0 17 df a4 86 6b 56 bd 58 dc e8 73 a6 00 1e bf 2d ....kvX...s....
00f0 f9 d7 be b2 b0 a7 37 a7 23 16 9e 74 f7 a9 df 3c .....7.#.t...<
0100 42 95 53 37 8f 72 e5 56 82 6d 7a c7 80 fa 0d c7 B.S7.r.V.mz...
0110 95 11 fe 7d 6c a0 a4 a9 28 15 ee 16 7f 32 d9 33 ...}l...((...2.3
0120 10 a2 53 62 e9 e2 ac 0e ff 40 72 b0 73 96 54 fe ..Sb....@r.s.T.
0130 6b ac d0 bf 78 fd 27 4a 46 46 80 ea 97 b0 f0 01 k...x.'J FF.....
0140 9a 4e 10 a5 11 a4 20 37 f0 55 e1 63 20 0b ac c5 .N....7.U.c...
0150 c4 26 c6 8a fd 35 a8 45 21 8f 98 ee f4 e9 7d 4a .E...5E!.....}
0160 c7 9e 21 d1 50 de 56 a8 03 ee dd 27 b4 39 78 2d .l.P.V...9X-
0170 5d cc ff 38 73 10 9e 00 90 1b 91 a7 0c ec 49 14 ].8s.....
0180 28 52 17 42 6c 70 2d 63 25 43 cd fc 16 c9 8c 89 (R.Blp-c %c.....
0190 90 18 6f 1b 06 d0 29 94 80 f4 7a 79 14 f2 8f 74 .o...).z...t
01a0 3b e8 dd 4b d8 15 10 16 5c a9 0f 19 cc 4c 84 83 .;K... \....L.
01b0 1c 5e d6 21 94 e3 37 1b 25 15 91 fa ce e5 d7 34 .A.l.7.%....4

```

Obrázek č. 8 – Zachycená komunikace mezi zdrojem a prvním uzlem

Na obrázku č. 8 lze vidět síťovou komunikaci, kterou program WireShark zachytil. Pakety po síti doopravdy běží, což potvrzuje spojení mezi zdrojem a prvním uzlem. V další části bude testován provoz mezi zdrojem a prostředním uzlem. Mezi kterými by komunikace neměla probíhat, protože prostřední uzel vidí pouze před sebe a nemůže tedy posílat pakety zpět uzlu prvním.

The screenshot displays the Wireshark interface with the following details:

- Filter:** ip.src == 134.119.179.55
- Packet List:**

No.	Time	Source	Destination	Protocol	Length	Info
2682	191.743174	134.119.179.55	192.168.0.103	TCP	247	9001 → 54644 [PSH, ACK] Seq=689415 Ack=99586 Win=1452 Len=193
2685	191.805962	134.119.179.55	192.168.0.103	TCP	60	9001 → 54644 [ACK] Seq=689608 Ack=100129 Win=1452 Len=0
2688	191.825956	134.119.179.55	192.168.0.103	TCP	597	9001 → 54644 [PSH, ACK] Seq=689608 Ack=100129 Win=1452 Len=543
2688	191.885490	134.119.179.55	192.168.0.103	TCP	1111	9001 → 54644 [PSH, ACK] Seq=690151 Ack=100129 Win=1452 Len=1057
2691	191.985012	134.119.179.55	192.168.0.103	TCP	60	9001 → 54644 [ACK] Seq=691208 Ack=100672 Win=1452 Len=0
2694	192.025718	134.119.179.55	192.168.0.103	TCP	60	9001 → 54644 [ACK] Seq=691208 Ack=101215 Win=1452 Len=0
2695	192.212256	134.119.179.55	192.168.0.103	TCP	597	9001 → 54644 [PSH, ACK] Seq=691208 Ack=101215 Win=1452 Len=543
2697	192.379999	134.119.179.55	192.168.0.103	TCP	597	9001 → 54644 [PSH, ACK] Seq=691751 Ack=101215 Win=1452 Len=543
2705	194.284617	134.119.179.55	192.168.0.103	TCP	597	9001 → 54644 [PSH, ACK] Seq=692294 Ack=101215 Win=1452 Len=543
2708	194.317971	134.119.179.55	192.168.0.103	TCP	597	9001 → 54644 [PSH, ACK] Seq=692837 Ack=101215 Win=1452 Len=543
2710	194.318659	134.119.179.55	192.168.0.103	TCP	60	9001 → 54644 [ACK] Seq=693380 Ack=101758 Win=1452 Len=0
2714	194.430452	134.119.179.55	192.168.0.103	TCP	60	9001 → 54644 [ACK] Seq=693380 Ack=102301 Win=1452 Len=0
2715	194.446758	134.119.179.55	192.168.0.103	TCP	60	9001 → 54644 [ACK] Seq=693380 Ack=103761 Win=1452 Len=0
2716	194.447577	134.119.179.55	192.168.0.103	TCP	60	9001 → 54644 [ACK] Seq=693380 Ack=104900 Win=1452 Len=0
- Packet Details (Frame 714):**
 - Frame 714: 597 bytes on wire (4776 bits), 597 bytes captured (4776 bits) on interface 0
 - Ethernet II, Src: Tp-LinkT_82:59:2e (a0:f3:c1:82:59:2e), Dst: AsustekC_7f:5c:21 (74:d0:2b:7f:5c:21)
 - Internet Protocol Version 4, Src: 134.119.179.55, Dst: 192.168.0.103
 - Transmission Control Protocol, Src Port: 9001, Dst Port: 54644, Seq: 262691, Ack: 29576, Len: 543
 - Data (543 bytes)
 - Data: 170303021a0fd8e6a54aa8a0d65e97a806064c0c44e90c36...
- Packet Bytes:**

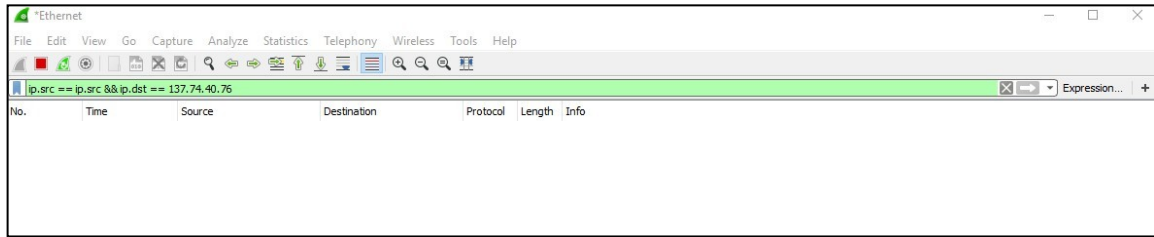
```

0030 05 ac 41 d7 00 00 17 03 03 02 1a 0f d8 e6 a5 4a  ..A....
0040 a8 a0 d6 5e 97 a8 06 06 4c 0c 44 e9 0c 36 21 67  .V.2....gh.
0050 b6 56 03 32 14 05 08 c9 b3 d9 99 cc 67 48 a1 ba  ...D.9 2...9.<
0060 78 8a 42 f8 b3 a5 3b 64 0f 85 0e 3a 7d 32 bf 02  x.B...yd ...}2<
0070 fb 59 8d 2f d7 4b 9d e0 a2 d9 db fb 23 e8 a2 8a  .Y./K...#...
0080 94 a5 7e 55 e4 07 33 a1 a3 ed 2f 7e bb 2d cf db  ...U..3.../s...
0090 0c 8f 05 9b cd 77 f4 01 29 0f 74 b4 ab d3 07 19  ...w...).t...
00a0 57 c3 ee bf 3a b5 27 a1 4c c0 23 61 18 6e 83 78  W...'.L.#a.n.x
00b0 38 9a 25 00 02 6f 8b fc 26 f9 40 03 a5 ff 4f 5e  8%.o. &@...0%
00c0 52 20 4b 93 96 1a 99 5a f8 8b 79 5e 9e 92 bb de  R K...Z ...y%...
00d0 ab 3f c6 0a a2 56 34 af 7a 9c 08 9a 41 2d d4 8f  .?..V4. z...A...
00e0 2d c7 28 b0 e7 24 90 4d 50 fa a0 3a 89 e7 76 d1  -.(.$M P...V...
00f0 b6 01 d3 06 c0 84 64 ff c0 6e be 8a 94 a6 dc fa  ....d..n.....
0100 40 fa 46 19 30 b9 c4 29 db d5 0c 00 f3 96 be 90  @.F.0..) .....
0110 c5 69 6c 98 2b 6d 0d e3 e2 61 8a eb 8f 45 04 19  .ll.+m...a...E...
0120 01 08 30 cc ae 0a 40 7f a1 2c a3 4c aa 84 c5 a7  .0...@...L...L...
0130 fd bb e6 65 ad b2 1e 1c 5c 80 23 04 92 f7 16 08  ...e....\#. ....
0140 6d 2b 7e f1 cf 62 8f 0f ca 2e f6 63 23 04 a8 db  .+...b...c#...
0150 82 54 dc 1a ae de 8e ef 51 98 a2 5e 83 18 63 80  .T...Q...c...
0160 76 5c 5f 43 6f bb 04 00 27 57 ba 61 45 60 97 38  \_Co...W.aE...
0170 8c a9 56 cb 98 91 2e d3 e7 6a c8 e7 40 fc 82 34  .V.....j...@...4
0180 45 a0 d1 59 b9 30 69 c7 1d 54 9e 3c c4 0b 06 3b  .E..Y.0i...T.<...;
0190 11 dd 98 92 ac 27 59 cd fc ac 6b 6e 76 95 b4 d7  ....Y...knv...
01a0 f0 3d fb 26 58 af 0c be de d9 2e ab 8a c2 fe 58  .=.&X.....X

```

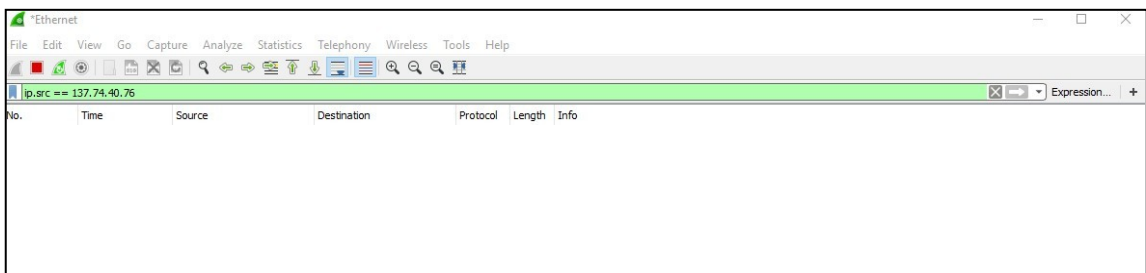
Obrázek č. 9 – Zachycená komunikace prvního uzlu

Na obrázku č. 9 lze ze zachycené komunikace vyčíst, to jak probíhá komunikace mezi prvním uzlem a cílem. Komunikaci zde lze zachytit, jelikož požadavek, který se přes síť posílá, se musí vrátit k tomu, kdo ho odeslal. V následující části bude proveden test komunikace mezi ostatními uzly, a u každého z uzlů bude proveden i opačný postup. Tak jako u prvního uzlu, tedy že jako adresa zdroje bude použit právě onen uzel, který bude testován. Lze zde předkládat, že by nemělo k žádné komunikaci docházet, jelikož jak již bylo řečeno, uzly nevidí dále než před sebe. Pokud by došlo k zachycení paketu, který by se nacházel např. mezi zdrojem a výstupním uzlem, znamenalo by to, že by zde mohlo docházet k odposlechu sítě. Tedy, že by potenciální útočník mohl zjistit zdroj i cíl komunikace.



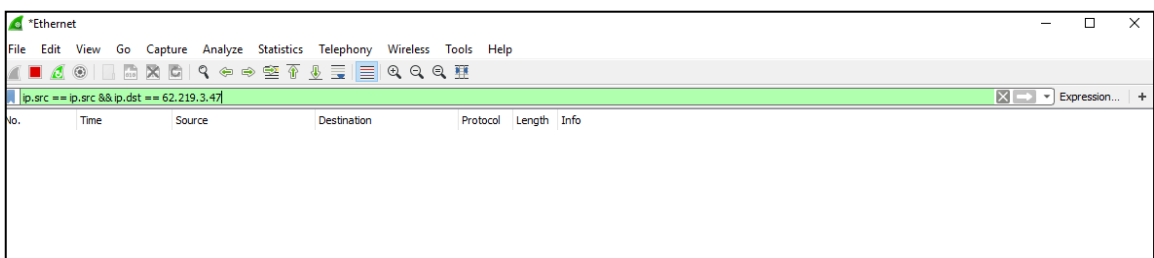
Obrázek č. 10 – Komunikace mezi zdrojem a prostředním uzlem

Síťový provoz běžel více než minutu a podle předpokladu nebyla zachycena žádná komunikace mezi zdrojem a prostředním uzlem. Z toho vyplývá, že prostřední uzel vůbec neví, odkud komunikace pochází, ale ví pouze, kam má data předat.

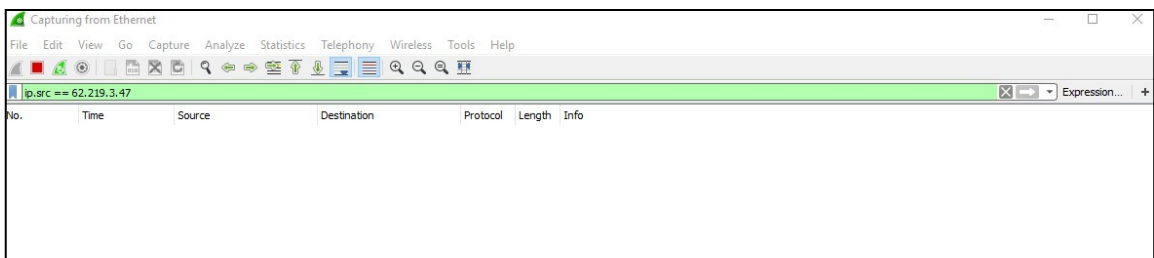


Obrázek č. 11 – Zachycená komunikaci prostředního uzlu

Na obrázku č. 11 lze vidět obrácený postup, zde se filtrují pakety, které pochází od prostředního uzlu. Síťový provoz byl spuštěný 5 minut a nebyl zachycen jediný paket, který by měl IP adresu prostředního uzlu.



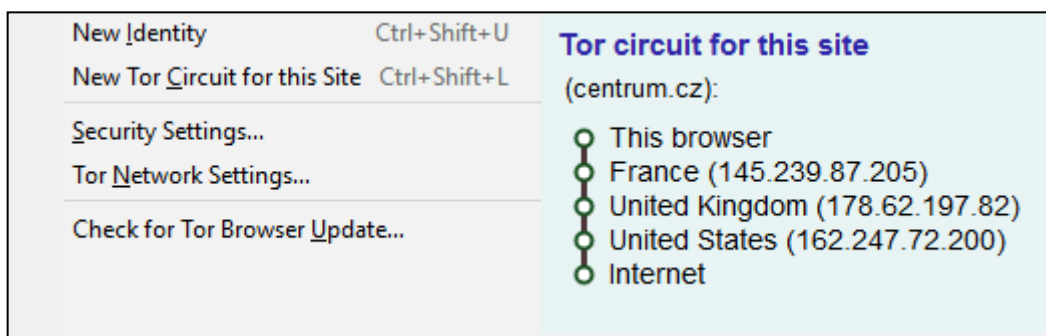
Obrázek č. 12 – Komunikace mezi zdrojem a výstupním uzlem



Obrázek č. 13 – Zachycená komunikace výstupního uzlu

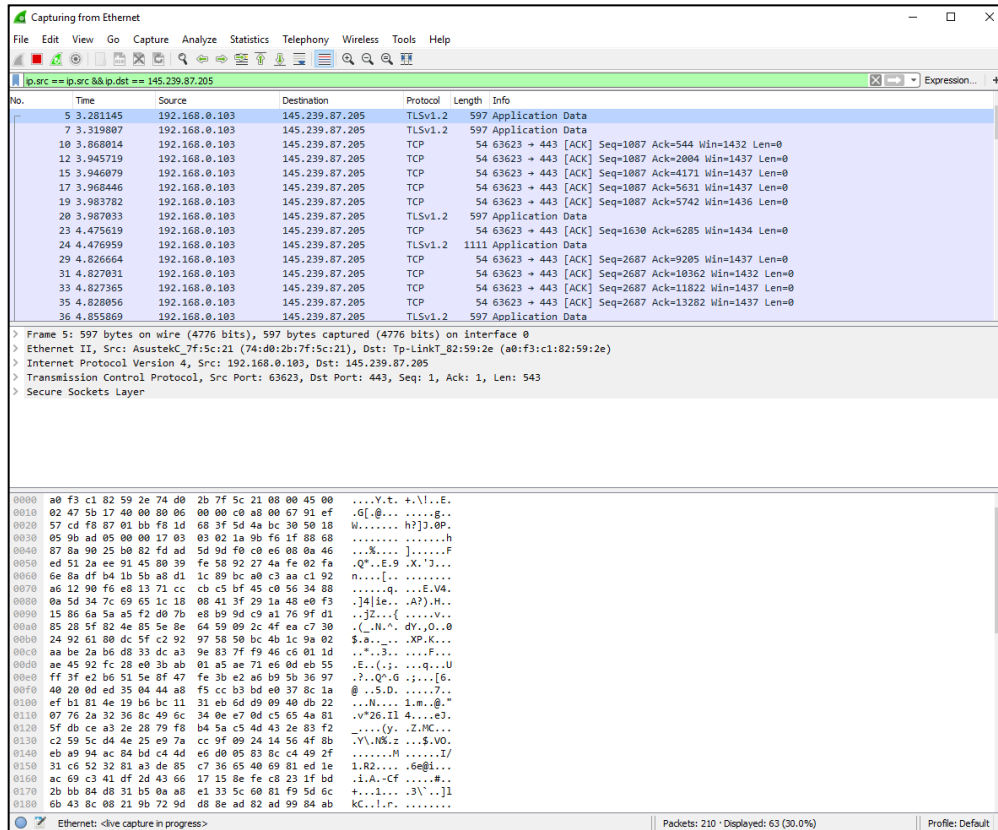
Na obrázku č. 12 lze vidět výsledky komunikace mezi zdrojem a výstupním uzlem, tedy že zde k žádné komunikaci nedochází. Obrázek č. 13 ukazuje, že nebyla zachycena komunikace ani směrem zpět. První test, který zde byl proveden, poukazuje na to, že komunikaci lze skutečně zachytit pouze mezi zdrojem a první uzlem. Popsaný princip komunikace v první části odpovídá naměřeným výsledkům. Provedeme tedy druhý test, který bude na stejném principu, jako ten první, zde bude pouze změněna adresa prvního uzlu. Lze předpokládat, že výsledky budou obdobné, jako tomu bylo u prvního testu.

2.2 Druhý test

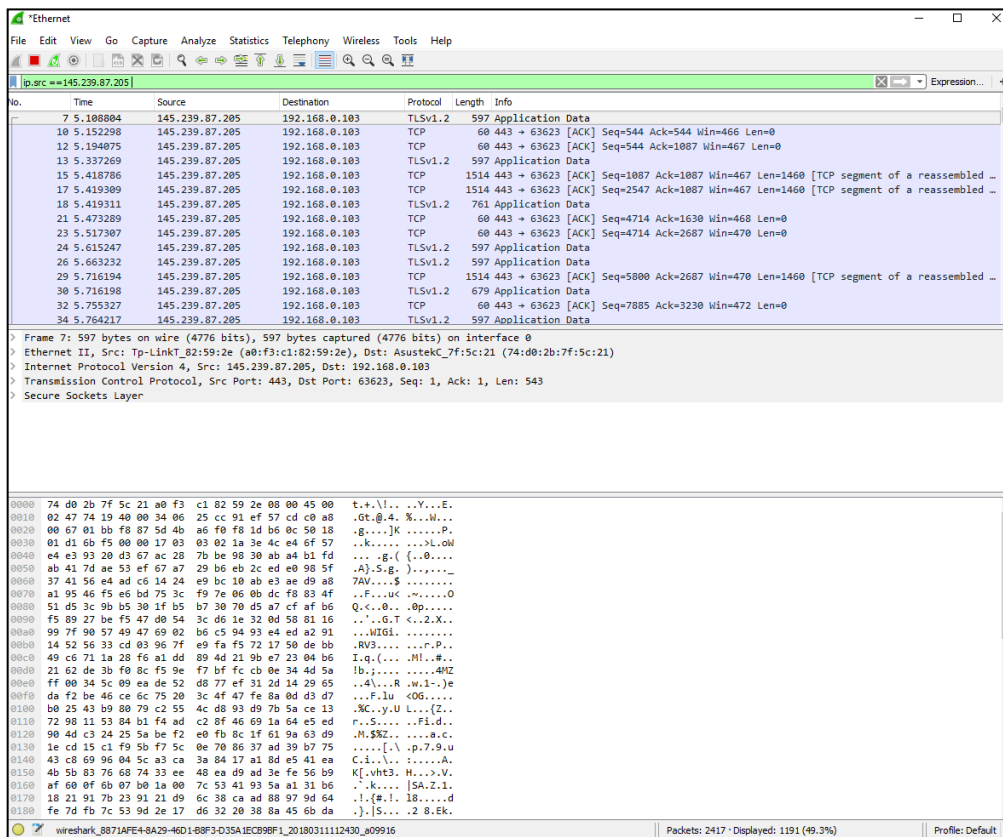


Obrázek č. 14 – Propojovací okruh ve druhém testu

Pro skutečné ověření funkce bude provedeno více testů, abychom potvrdili, že komunikaci lze doopravdy zachytit pouze mezi zdrojem a prvním uzlem. Při druhém použití prohlížeče se nastavil nový *entry guard* na území Francie, prostřední pak na Velkou Británii a výstupní na Spojené státy americké.

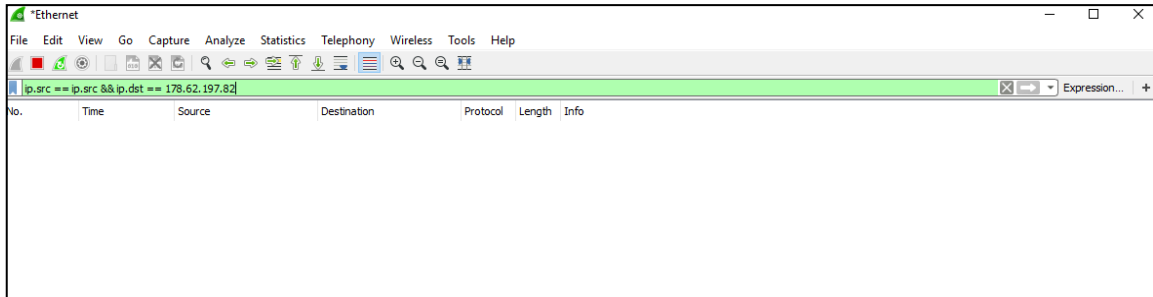


Obrázek č. 15 – Komunikace mezi zdrojem a vstupním uzlem

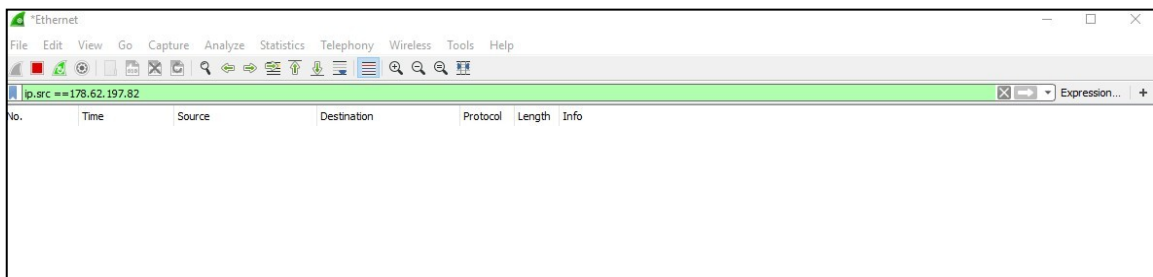


Obrázek č. 16 – Zachycená komunikace první uzlu v druhém testu

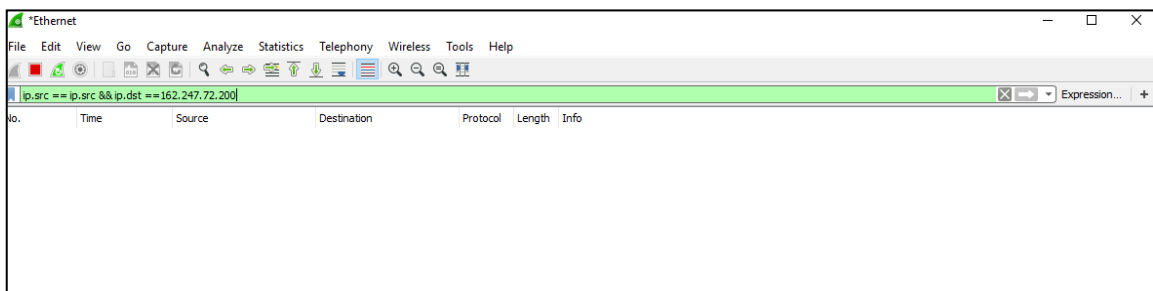
Obrázek č. 15 a 16 ukazují to, že stejně jako v prvním testu zde byla zachycena komunikace. Komunikace probíhá opět oboustranně, tedy od zdroje k prvnímu uzlu a zpět. Lze předpokládat, že výsledky testů týkajících se další uzlů dopadnou stejně jako v testu prvním.



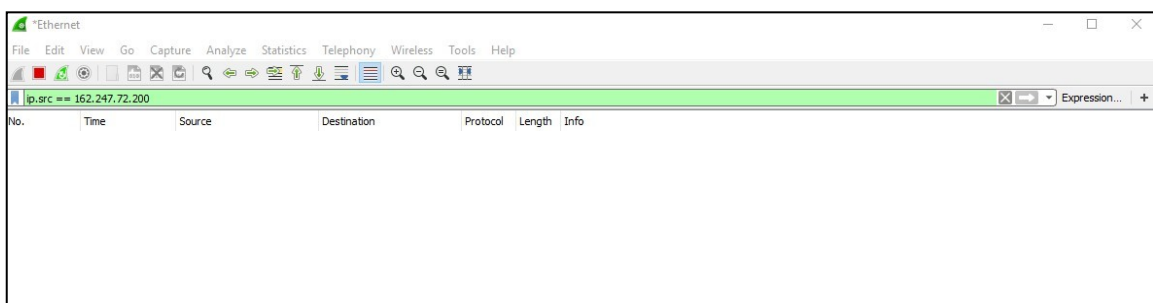
Obrázek č. 17 – Komunikace mezi zdrojem a prostředním uzlem



Obrázek č. 18 – Zachycená komunikace prostředního uzlu



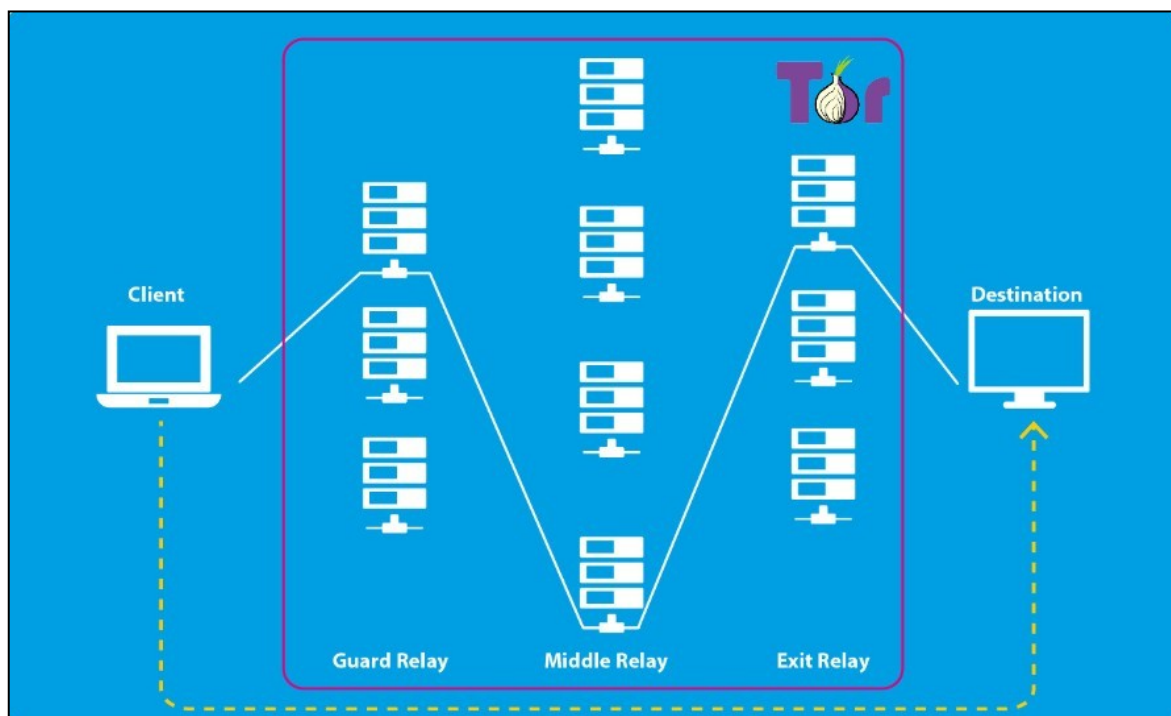
Obrázek č. 19 – Komunikace mezi zdrojem a výstupním uzlem



Obrázek č. 20 – Zachycená komunikace výstupního uzlu

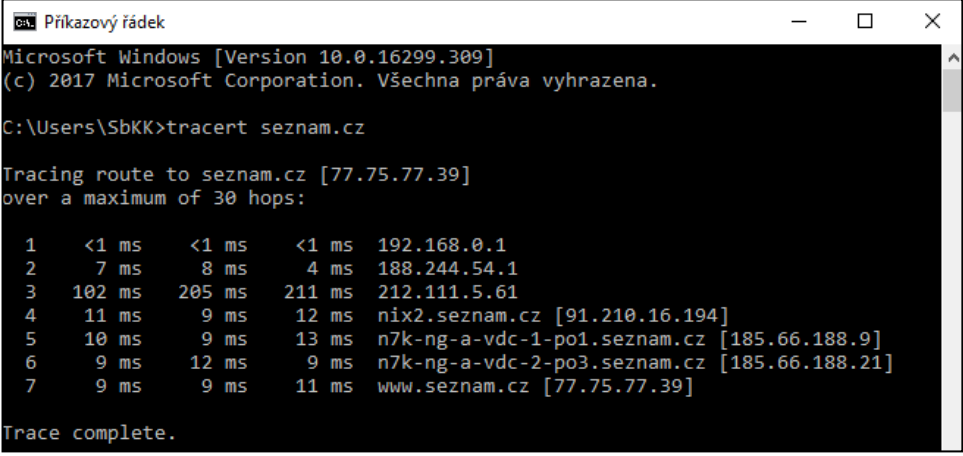
Testování komunikace v druhé části pobíhalo stejně, jako v části první, tedy že každý jednotlivý uzel byl propojen s IP adresou zdroje a čekalo se, jestli pakety přes tyto dvě IP adresy prochází. Bylo znova zjištěno, že uzly sítě nevidí dále než před sebe a tedy, že komunikaci lze detekovat pouze mezi zdrojem a prvním uzlem sítě. Na obrázku č. 17, 18, 19 a 20 jsou výsledky jednotlivých testů. Testy v druhé části dopadly stejně, jako testy v části první. Z výsledků všech testů, které zde byly uvedeny, vyplývá, že komunikaci skutečně nelze zachytit nikde jinde, než mezi zdrojem a prvním uzlem. Pro útočníka to znamená, že odposlech jednotlivých uzlů by pro něho nemělo žádný význam, jelikož jak již bylo řečeno, jednotlivé uzly nevidí dále než před sebe, a mění svoji lokalitu zhruba každé tři minuty. V následující části bude proveden test, ve kterém se bude zjišťovat, zda náhodou neexistuje nějaká postranní cesta, přes kterou by mohla komunikace probíhat. Jednoduše bude zjištěna IP adresa domény, na kterou se prohlížeč připojuje. Do příkazové řádky se napíše příkaz `tracert www.seznam.cz`, který vyhledá výslednou IP adresu.

2.3 Postranní kanál v síti



Obrázek č. 21 - Hledaný postranní kanál v komunikaci

Na obrázku č. 21 je žlutě znázorněn postranní kanál, který bude hledán. Pokud bude zamezena veškerá síťová komunikace kromě Toru, tak by mezi IP adresou zdroje a IP adresou cílové domény neměly jít zachytit žádné pakety. Případné zachycení paketů by znamenalo, že existuje i další cesta, přes kterou může komunikace probíhat.



```

C:\Users\SbKK>tracert seznam.cz

Tracing route to seznam.cz [77.75.77.39]
over a maximum of 30 hops:

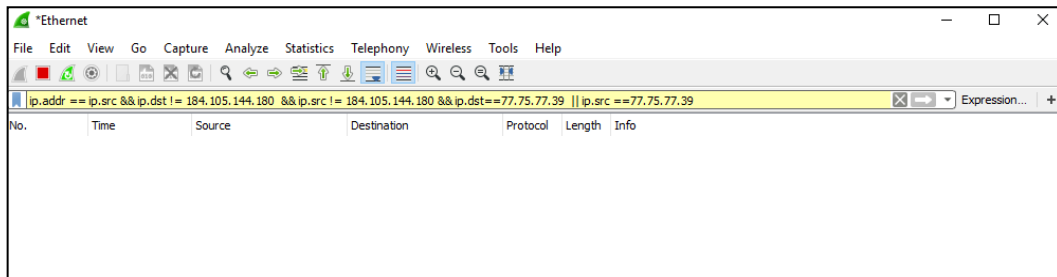
  0  <1 ms    <1 ms    <1 ms    192.168.0.1
  1  7 ms     8 ms     4 ms     188.244.54.1
  2 102 ms   205 ms   211 ms   212.111.5.61
  3  11 ms    9 ms     12 ms    nix2.seznam.cz [91.210.16.194]
  4  10 ms    9 ms     13 ms    n7k-ng-a-vdc-1-po1.seznam.cz [185.66.188.9]
  5  9 ms     12 ms    9 ms     n7k-ng-a-vdc-2-po3.seznam.cz [185.66.188.21]
  6  9 ms     9 ms     11 ms    www.seznam.cz [77.75.77.39]

Trace complete.

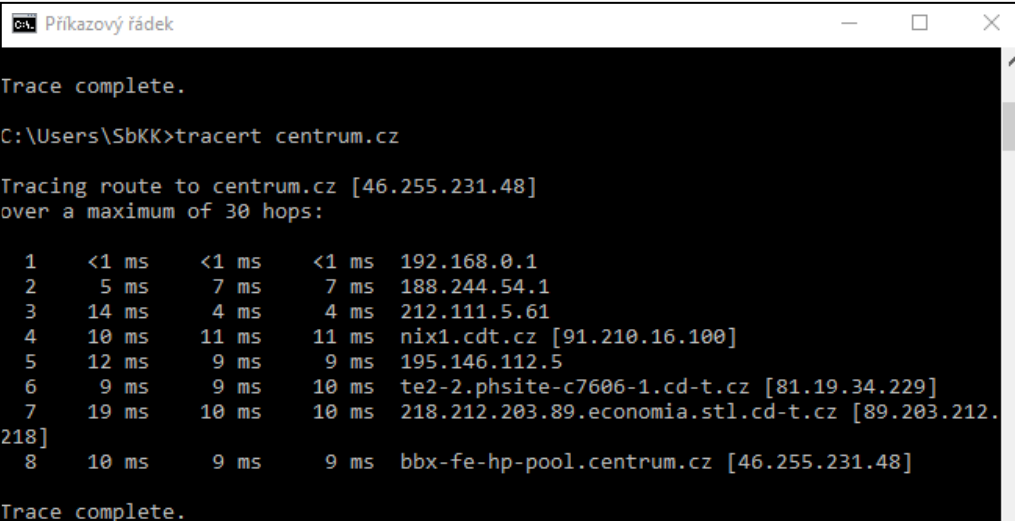
```

Obrázek č. 22 – Filtrování IP adresy domény *www.seznam.cz*

Filtr v programu WireShark se nastaví tak, že se přidá adresa zdroje. Dále se nastaví to, že adresa prvního uzlu nesmí být zdrojová ani cílová a také se nastaví pouze IP adresa, kterou vyfiltrovala příkazová řádka. IP adresa, kterou vyfiltrovala příkazová řádka, se pro jistotu nastaví jako zdrojová i cílová, aby pak šlo s jistotou říci, jestli pakety tečou od zdroje k seznamu, nebo od seznamu ke zdroji.



Obrázek č. 23 – Zachycená komunikace



```

C:\Users\SbKK>tracert centrum.cz

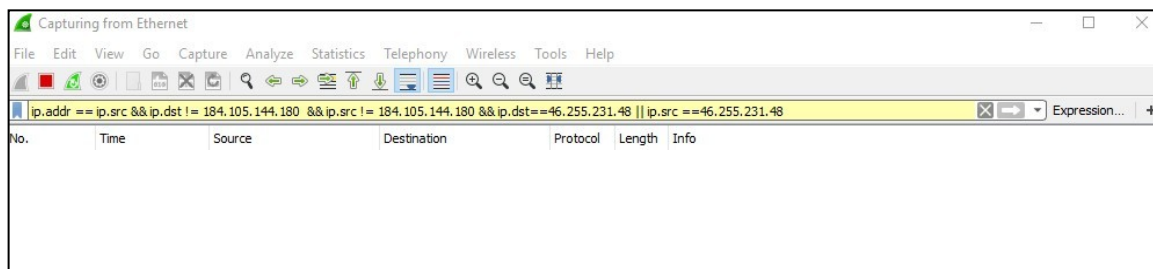
Tracing route to centrum.cz [46.255.231.48]
over a maximum of 30 hops:

  0  <1 ms    <1 ms    <1 ms    192.168.0.1
  1  5 ms     7 ms     7 ms     188.244.54.1
  2 14 ms    4 ms     4 ms     212.111.5.61
  3 10 ms   11 ms    11 ms    nix1.cdt.cz [91.210.16.100]
  4 12 ms    9 ms     9 ms     195.146.112.5
  5  9 ms     9 ms    10 ms    te2-2.phsite-c7606-1.cd-t.cz [81.19.34.229]
  6 19 ms   10 ms    10 ms    218.212.203.89.economia.stl.cd-t.cz [89.203.212.218]
  7 10 ms    9 ms     9 ms     bbx-fe-hp-pool.centrum.cz [46.255.231.48]

Trace complete.

```

Obrázek č. 24 – Filtrování IP adresy domény *centrum.cz*



Obrázek č. 25 – Zachycená komunikace

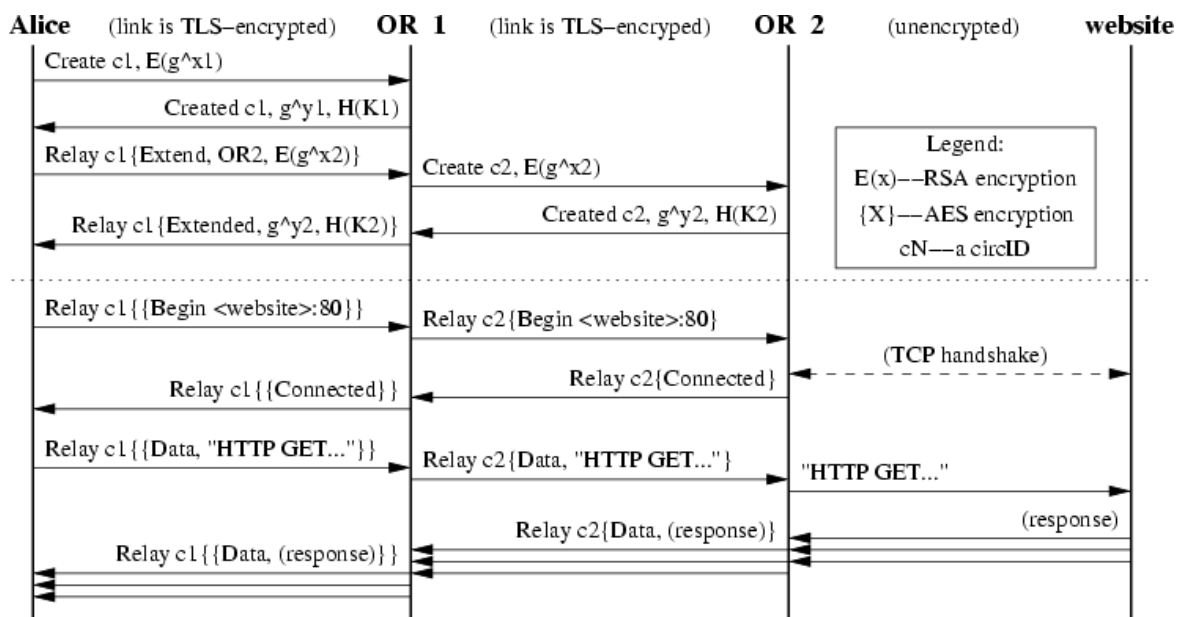
Ze zachycené komunikace na obrázcích č. 22 a 23 lze vidět, že neprobíhá žádná komunikace mezi IP adresou uvedené domény a zdrojem. Z uvedených výsledků testů lze s jistotou vyloučit jakýkoliv postraní kanál, přes který by mohla komunikace probíhat. Výsledky ze všech testů tedy potvrzují princip komunikace, který byl popsán v prvním bodě a vylučuje i odposlech sítě, který by probíhal před jednotlivé uzly. [11]

2.4 Zhodnocení výsledků měření

Předešlé testy, které byly provedeny, potvrdily princip komunikace, který byl uveden v prvním bodě. Bylo prokázáno, že jednotlivé uzly komunikace nevidí dále, než před sebe. Komunikaci tedy šlo skutečně zachytit pouze mezi zdrojem a prvním uzlem. Z případného odposlechu sítě mezi uživatelem a prvním uzlem by útočník dokázal vyvodit pouze to, že uživatel ze sítě Tor pouze komunikuje. Nedokázal by zjistit, s kým uživatel komunikuje. Jednotlivé uzly nevidí dále než před sebe, takže odposlech jednotlivých uzlů by útočníkovi nedal žádné informace o tom, s kým uživatel komunikuje. Teprve až poslední uzel předá data do internetu. Případné zachycení komunikace z výstupního uzlu by útočníkovi nezdělalo nic o tom, odkud data přišla. Bylo prokázáno, že neexistuje ani žádný postraní kanál, přes který by mohla data procházet. Z výsledků tedy vyplývá to, že síť Tor se chová skutečně tak, je popsáno v její dokumentaci.

2.4.1 Bezpečnost délky klíče

V prvním bodě se Onion proxy Alice dotáže na databázi Tor, která Onion proxy odtajní pozici jednotlivých uzlů, přes které bude komunikovat. Po obdržení lokality jednotlivých uzlů vytvoří Onion proxy spojení mezi jednotlivými uzly.



Obrázek č. 26 – Princip komunikace [12]

Data jsou zašifrována pomocí šifry RSA a dále přenášena pomocí Diffie Hellmanovy výměny klíčů, která se nazývá *Curve25519*. Délka použité šifry u RSA je 1024 bitů, která již v dnešní době není považována za bezpečnou. V roce 2007 byl za 11 měsíců pomocí hrubé síly rozšifrován 700 bitový klíč RSA. V dnešním roce 2018, kdy výkon výpočetní techniky exponenciálně roste, by rozšifrování stejné délky klíče trvalo kratší dobu. Profesor kryptografie Arjen Lenstra již v roce 2007 odpověděl na dotaz, zda je šifra 1024 bitová šifra RSA mrtvá, odpověď zněla *ano*. [12] [13] [14]

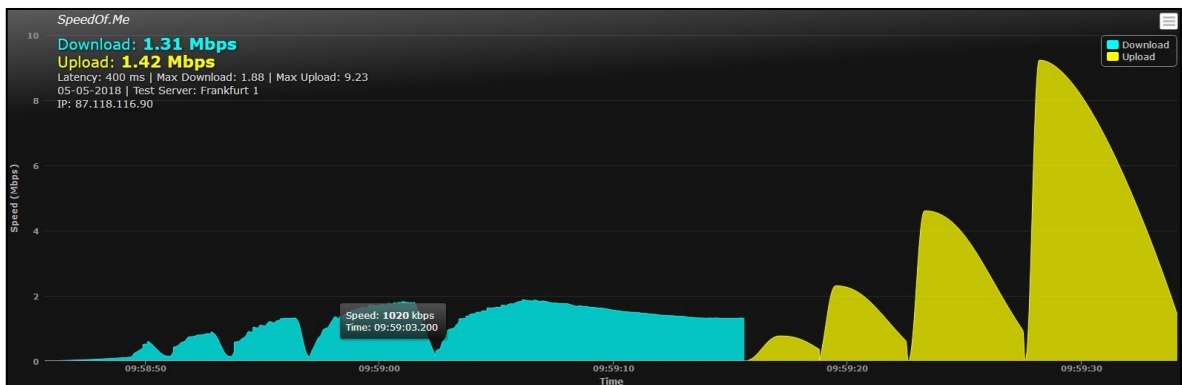
When asked whether 1024-bit RSA keys are dead, Lenstra said: The answer to that question is an unqualified yes. Hopefully, my bank is paying attention to these developments.

Síť tor by se tedy v budoucnu měla zaměřit na zvětšení klíče používaného u RSA. Dnešní minimum, které se považuje za bezpečnou velikost u RSA, je 2048 bitů, avšak podporované velikosti jsou i 4096 a 8192 bitů. [15]

3 TESTY STABILITY SPOJENÍ

Test stability zde bude sloužit pro zjištění odezvy. V prvním kroku se zjistí odezva prohlížeče v Tor síti. Odezva, která bude naměřena, je ovšem měřena od konkrétního uživatele až po cílovou doménu. Bude tedy nutné první zjistit odezvu přes Tor prohlížeč a dále zjistit odezvu od konkrétního uživatele k prvnímu uzlu. Po zjištění celkové odezvy sítě a následně prvního uzlu, je potřeba odečíst hodnotu odezvy prvního uzlu od odezvy celé Tor sítě. Výsledná odezva, která vznikne tímto odečtením, bude již přímo souviset s vnitřkem uzlu vytvořeného Tor sítí. Pro testování stability budou provedeny čtyři testy, kde každý z nich bude vykonán v jiném časovém intervalu.

3.1 První test



Obrázek č. 27 – Test odezvy přes Tor prohlížeč 12:10 UTC [18]

```
OK: Příkazový řádek
Reply from 184.105.144.180: bytes=32 time=165ms TTL=56
Reply from 184.105.144.180: bytes=32 time=159ms TTL=56
Request timed out.
Reply from 184.105.144.180: bytes=32 time=159ms TTL=56
Reply from 184.105.144.180: bytes=32 time=159ms TTL=56
Reply from 184.105.144.180: bytes=32 time=159ms TTL=56
Reply from 184.105.144.180: bytes=32 time=160ms TTL=56
Reply from 184.105.144.180: bytes=32 time=162ms TTL=56
Reply from 184.105.144.180: bytes=32 time=160ms TTL=56
Reply from 184.105.144.180: bytes=32 time=163ms TTL=56
Reply from 184.105.144.180: bytes=32 time=160ms TTL=56
Reply from 184.105.144.180: bytes=32 time=162ms TTL=56
Reply from 184.105.144.180: bytes=32 time=163ms TTL=56
Reply from 184.105.144.180: bytes=32 time=161ms TTL=56
Reply from 184.105.144.180: bytes=32 time=161ms TTL=56
Reply from 184.105.144.180: bytes=32 time=160ms TTL=56
Reply from 184.105.144.180: bytes=32 time=159ms TTL=56
Reply from 184.105.144.180: bytes=32 time=161ms TTL=56

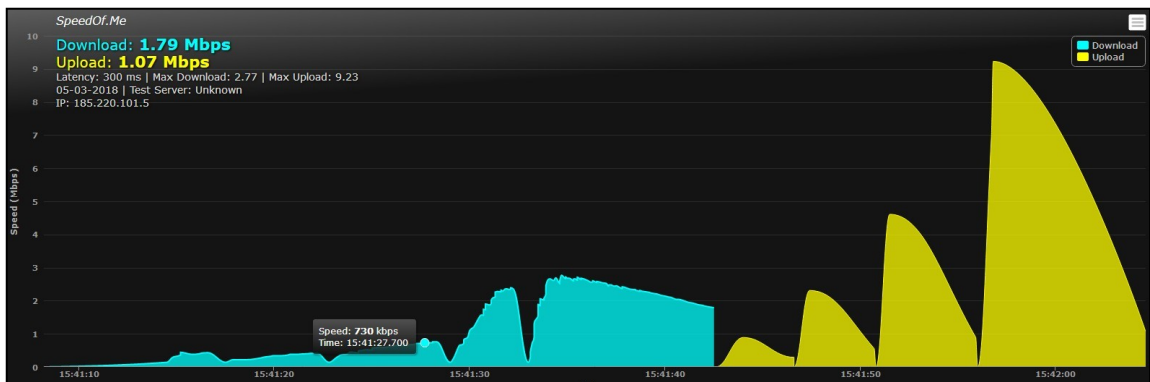
Ping statistics for 184.105.144.180:
    Packets: Sent = 500, Received = 496, Lost = 4 (0% loss),
    Approximate round trip times in milli-seconds:
        Minimum = 158ms, Maximum = 178ms, Average = 160ms

C:\Users\SbKK>
```

Obrázek č. 28 – Odezva prvního uzlu v síti 12:10 UTC [18]

Na obrázku č. 26 můžeme vidět test odezvy přes Tor prohlížeč. Odezva je poměrně vysoká s toho důvodu, protože požadavek na cílovou doménu musí projít přes všechny tři uzly a až poté je vpuštěn do internetu. Již první uzel na obrázku č. 27 má poměrně vysokou odezvu a to je z toho důvodu, že konkrétně tento uzel má nižší šířku pásma, než uzly ostatní. [16]

3.2 Druhý test



Obrázek č. 29 – Test odezvy přes Tor prohlížeč 17:40 UTC [18]

```
ca. Příkazový řádek
Reply from 184.105.144.180: bytes=32 time=161ms TTL=56
Reply from 184.105.144.180: bytes=32 time=161ms TTL=56
Reply from 184.105.144.180: bytes=32 time=159ms TTL=56
Reply from 184.105.144.180: bytes=32 time=161ms TTL=56
Reply from 184.105.144.180: bytes=32 time=159ms TTL=56
Reply from 184.105.144.180: bytes=32 time=161ms TTL=56
Reply from 184.105.144.180: bytes=32 time=163ms TTL=56
Reply from 184.105.144.180: bytes=32 time=160ms TTL=56
Reply from 184.105.144.180: bytes=32 time=161ms TTL=56
Reply from 184.105.144.180: bytes=32 time=159ms TTL=56
Reply from 184.105.144.180: bytes=32 time=159ms TTL=56
Reply from 184.105.144.180: bytes=32 time=160ms TTL=56
Reply from 184.105.144.180: bytes=32 time=159ms TTL=56
Reply from 184.105.144.180: bytes=32 time=159ms TTL=56
Reply from 184.105.144.180: bytes=32 time=165ms TTL=56
Reply from 184.105.144.180: bytes=32 time=160ms TTL=56
Reply from 184.105.144.180: bytes=32 time=160ms TTL=56
Reply from 184.105.144.180: bytes=32 time=159ms TTL=56

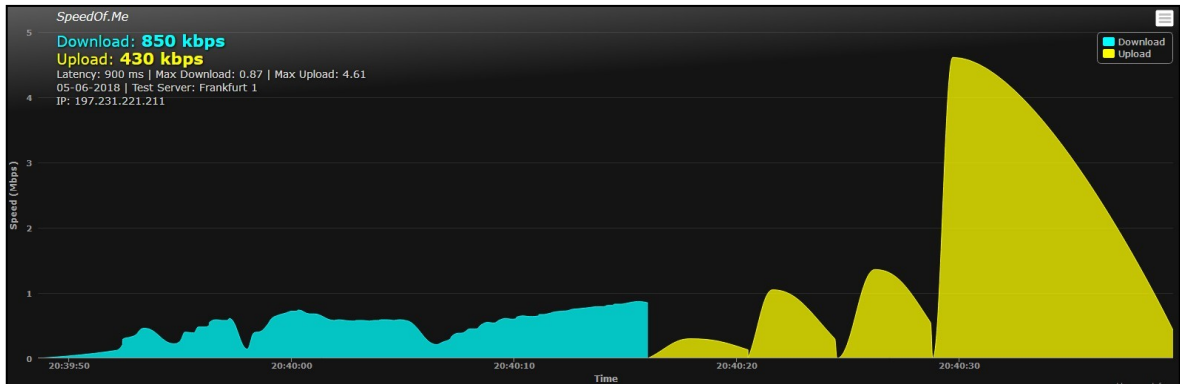
Ping statistics for 184.105.144.180:
    Packets: Sent = 500, Received = 500, Lost = 0 (0% loss),
    Approximate round trip times in milli-seconds:
        Minimum = 158ms, Maximum = 192ms, Average = 160ms

C:\Users\SbKK>
```

Obrázek č. 30 – Odezva prvního uzlu v síti 17:40 UTC

Na obrázku č. 29 a 30 můžeme vidět obdobné testy, jako v prvním případě. Odezva prvního uzlu se liší pouze nepatrně. Další test bude proveden v nočních hodinách. Lze předpokládat zvýšení odezvy, jelikož v nočních hodinách je více uživatelů aktivních, než přes dopolední hodiny.

3.3 Třetí test



Obrázek č. 31 – Test odezvy přes Tor prohlížeč 22:40 UTC [18]

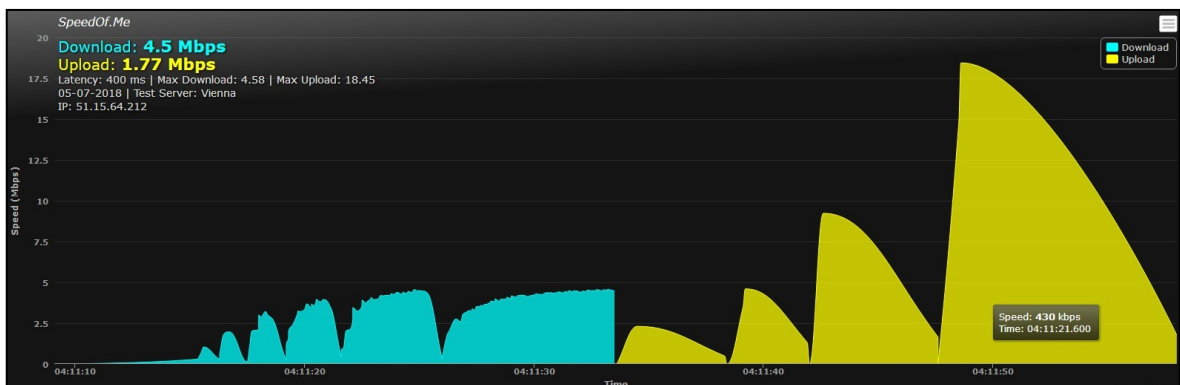
```
cmd: Příkazový řádek
Reply from 184.105.144.180: bytes=32 time=163ms TTL=56
Reply from 184.105.144.180: bytes=32 time=161ms TTL=56
Reply from 184.105.144.180: bytes=32 time=159ms TTL=56
Reply from 184.105.144.180: bytes=32 time=161ms TTL=56
Reply from 184.105.144.180: bytes=32 time=160ms TTL=56
Reply from 184.105.144.180: bytes=32 time=166ms TTL=56
Reply from 184.105.144.180: bytes=32 time=161ms TTL=56
Reply from 184.105.144.180: bytes=32 time=160ms TTL=56
Reply from 184.105.144.180: bytes=32 time=163ms TTL=56
Reply from 184.105.144.180: bytes=32 time=162ms TTL=56
Reply from 184.105.144.180: bytes=32 time=163ms TTL=56
Reply from 184.105.144.180: bytes=32 time=162ms TTL=56
Reply from 184.105.144.180: bytes=32 time=160ms TTL=56
Reply from 184.105.144.180: bytes=32 time=161ms TTL=56
Reply from 184.105.144.180: bytes=32 time=159ms TTL=56
Reply from 184.105.144.180: bytes=32 time=159ms TTL=56
Reply from 184.105.144.180: bytes=32 time=160ms TTL=56
Reply from 184.105.144.180: bytes=32 time=160ms TTL=56

Ping statistics for 184.105.144.180:
    Packets: Sent = 500, Received = 500, Lost = 0 (0% loss),
    Approximate round trip times in milli-seconds:
        Minimum = 158ms, Maximum = 210ms, Average = 163ms

C:\Users\SbKK>
```

Obrázek č. 32 – Odezva prvního uzlu v síti 22:40 UTC

3.4 Čtvrtý test



Obrázek č. 33 – Test odezvy přes Tor prohlížeč 6:15 UTC [18]

```

Příkazový řádek
Reply from 184.105.144.180: bytes=32 time=158ms TTL=56
Reply from 184.105.144.180: bytes=32 time=158ms TTL=56
Reply from 184.105.144.180: bytes=32 time=159ms TTL=56
Reply from 184.105.144.180: bytes=32 time=159ms TTL=56
Reply from 184.105.144.180: bytes=32 time=160ms TTL=56
Reply from 184.105.144.180: bytes=32 time=159ms TTL=56
Reply from 184.105.144.180: bytes=32 time=160ms TTL=56
Reply from 184.105.144.180: bytes=32 time=159ms TTL=56
Reply from 184.105.144.180: bytes=32 time=159ms TTL=56
Reply from 184.105.144.180: bytes=32 time=159ms TTL=56
Reply from 184.105.144.180: bytes=32 time=159ms TTL=56
Reply from 184.105.144.180: bytes=32 time=159ms TTL=56
Reply from 184.105.144.180: bytes=32 time=158ms TTL=56
Reply from 184.105.144.180: bytes=32 time=159ms TTL=56
Reply from 184.105.144.180: bytes=32 time=161ms TTL=56
Reply from 184.105.144.180: bytes=32 time=160ms TTL=56
Reply from 184.105.144.180: bytes=32 time=159ms TTL=56
Reply from 184.105.144.180: bytes=32 time=159ms TTL=56
Reply from 184.105.144.180: bytes=32 time=160ms TTL=56
Reply from 184.105.144.180: bytes=32 time=161ms TTL=56

Ping statistics for 184.105.144.180:
    Packets: Sent = 500, Received = 500, Lost = 0 (0% loss),
    Approximate round trip times in milli-seconds:
        Minimum = 158ms, Maximum = 226ms, Average = 159ms

C:\Users\SbKK>

```

Obrázek č. 34 – Odezva prvního uzlu v síti 6:15 UTC

3.5 Výsledky měření testů stability

Tabulka č. 1 – Výsledky měření testů odezvy (Vlastní zpracování)

Čas[UTC]	Průměrná odezva Tor sítě[ms]	Průměrná odezva prvního uzlu[ms]	Vnitřní odezva sítě Tor[ms]
12:10	400	160	240
17:40	300	160	140
22:40	900	163	737
6:15	400	159	241

V tabulce č. 1 můžeme vidět naměřené hodnoty odezvy. Největší odezva v Tor síti byla dle předpokladů v nočních hodinách, kdy je aktivních nejvíce uživatelů. Naopak nejmenší odezva byla naměřená v odpoledních hodinách. Jak již bylo řečeno, vnitřní odezva Tor sítě byla zjištěna odečtením odezvy naměřené na internetové stránce www.speedof.me, od odezvy první uzlu. Výsledná odezva, která je uvedena v pravé části tabulky již přímo souvisí s vnitřním okruhem v Tor síti, na který je konkrétní uživatel připojený. Ani v jednom z případů nebyla zaznamenána ztráta paketu, nebo jakýkoliv další výpadek sítě. Z uvedených výsledků vyplývá, že směrovače, na kterých byl test proveden, se chovají stabilně a nemají žádné výpadky, které by zpomalovaly použití sítě.

Tabulka č. 2 – Výsledky měření testů Download/Upload (Vlastní zpracování)

Čas[UTC]	Download[Mbps]	Upload[Mbps]
12:10	1,31	1,42
17:40	1,79	1,07
22:40	0,85	0,43
6:15	4,5	1,77

V uvedené tabulce č. 2 můžeme vidět poměr rychlosti stahování k poměru rychlosti nahrávání. Nejlepší poměr těchto dvou hodnot byl naměřen v ranních hodinách.

4 ROZŠÍŘENÍ ANONYMIZAČNÍCH TECHNIK

Základní myšlenkou Onion routingu je anonymizace uživatelů a ochrana jejich osobních údajů. Zároveň poskytuje uživatelům možnost uniknout z normálního internetu do světa, ve kterém neplatí stejná pravidla, jako v klasickém internetu. Ovšem i samotná síť Tor trpí chybami, které by v budoucnu mohly znamenat pro uživatele rizika. V následujícím kroku budou uvedeny jednotlivé vylepšení anonymizačních technik, které by v samostatné síti pomohly zlepšit její funkčnost a zároveň bezpečnost uživatelů.

4.1 Zvětšení uživatelské komunity

První vylepšení nesouvisí ani tak s anonymitou, jakožto s fungováním celé sítě. Již od počátku vzniku sítě, byl Tor postaven na jednotlivých uživatelích, kteří samotnou síť tvořili a rozvíjeli. Největší hrozbou pro celý Tor je nezájem uživatelů o jeho používání. Přeci jen samotné cibulové uzly tvoří uživatelé, kteří dobrovolně propůjčují svoji šířku internetového připojení lidem, kteří síť používají. Bez těchto uzlů by síť jako taková fungovat nemohla. V budoucnu by se tedy uživatelé této sítě měli snažit o její propagaci mezi veřejnost, která o ní doposud neví. Čím více uživatelů bude síť používat, tím více aktivních uzlů se bude vytvářet. Zvětšení počtů aktivních uživatelů bude znamenat jednak zrychlení celé sítě a také zlepšení bezpečnosti, protože přes velkou odolnost celé sítě bude problém vystopovat informace o konkrétním uživateli. Počet aktivních uzlů se rok od roku zvětšuje, což má za následek zlepšení bezpečnostních podmínek pro uživatele. [17]

4.2 Zvětšení délky používaného klíče

Jednou z dalších možností, na které by se komunita Tor sítě měla v budoucnu zaměřit a tlačit s ní na vývojáře, je zvětšení délky používaného klíče při šifrování. Stávající použitá délka klíče RSA při šifrování je 1024 bitů což je v dnešní době naprosto nedostačující. [13] [18]

ENCRYPTION SCORECARD

ENCRYPTION STANDARD	SAFE TO USE	KNOWN WEAKNESS	DATA SECURITY HORIZON
✘ 1024-bit encryption	🚫 UNSAFE	🔓 Trapdoor Primes, Known Exploits	🕒 0 Days
✘ 2048-bit encryption	🚫 LIKELY UNSAFE	🚫 STATE LEVEL RESOURCES	🕒 2-5 Years
✔ 4096-bit encryption	✔ SAFE FOR NOW	✔ QUANTUM COMPUTING	🕒 10+ Years
🔍 NSA Quantum Resistant Algorithm	🔍 UNKNOWN	🔍 Unknown Backdoors	🕒 50+ Years
🔍 Quantum Encryption	✔ PROVABLY SAFE	🔍 NOT AVAILABLE YET	🕒 INFINITE

Obrázek č. 35 – Bezpečnost použitých délek klíčů [20]

Na obrázku č. 34 můžeme vidět bezpečnost jednotlivých délek klíčů. Již použitá délka klíče 2048 bitů není v dnešní době považována za bezpečnou. Komunita sítě Tor by tedy měla tlačit na vývojáře, aby při Diffie Helmanově výměně klíčů použili u šifry RSA délku klíče 4096 bitu, která je v dnešní době považována za bezpečnou.

4.3 Zamezení síťového provozu ostatních programů

V internetovém prohlížeči Tor by se v budoucnu mohlo nacházet vylepšení, které by po aktivaci zamezilo veškerý síťový provoz ostatních aplikací. Funkcionalita by byla následující. Po spuštění internetového prohlížeče Tor by se zobrazila tabulka s funkcí skenování síťového provozu, která by našla všechny programy a aplikace, které jakýmkoliv způsobem komunikují s internetem. Po ukončení skenování by se zobrazila možnost pro blokování síťového provozu ostatních aplikací. Příslušný uživatel by poté mohl zamezit komunikaci buďto všech programů a aplikací aktivních v síti, nebo jen těch, které si sám vybere. Toto vylepšení by samozřejmě neumožňovalo blokování síťového provozu funkcím operačního systému, které zprostředkovávají komunikaci s internetem. Blokování síťového provozu ostatních aplikací by pro uživatele znamenalo zlepšení bezpečnosti při používání prohlížeče Tor. Zamezení síťového provozu by také znamenalo celkové zrychlení prohlížeče Tor, protože ostatní aplikace by zbytečně nebrzdily síťový provoz.

ZÁVĚR

Cílem bakalářské práce bylo objasnit fungování Tor sítě a také popsat princip anonymizace uživatelů. Celá teoretická část se tedy objas, jak síť funguje a jakým způsobem probíhá anonymizace. Dále zde byly popsány základní prvky sítě Tor a také ukázána mapa, na které byly zobrazeny jednotlivé směrovače, které fungují jako uzly sítě.

Praktická část bakalářské práce se skládala z ověření principu komunikace, který byl popsán v první části. V úvodu praktické části byl znovu nastíněn princip ve kterém by jednotlivé uzly zpuštěných neměly vidět dále než před sebe. Podle toho se odvíjel první test, který ověřil to, že uživatel ve vytvořeném okruhu, který vygeneroval Tor, může komunikovat jen a pouze s prvním uzlem. Komunikace s prostředním a výstupním uzlem tedy nemůže probíhat, což je znázorněno na jednotlivých obrázcích. V neposlední řadě bylo ověřeno to, že neexistuje ani žádný postranní kanál, přes který by mohla komunikace procházet. Bylo tedy prokázáno, že síť Tor skutečně funguje tak, jak je popsáno v její dokumentaci. Při procházení dokumentace bylo zjištěno, že Tor používá při šifrování délku klíče, která v dnešní době není považována za bezpečnou.

V předposledním bodě bakalářské práce probíhalo měření stability spojení. Testy probíhaly tak, že se v prvním bodě zjistila IP adresa prvního uzlu, na který se posílaly požadavky, a měřil se čas, za který požadavek dorazí zpět. Zjistila se odezva v Tor prohlížeči, která se následně odečetla od odezvy prvního uzlu. Odečtením těchto dvou hodnot vznikla odezva, která patřila vytvořenému okruhu sítě.

V poslední části bakalářské práce pak byly navrženy další možnosti jak rozšířit anonymizaci uživatelů. Největším problémem pro samotnou síť jsou uživatelé, kteří ji tvoří. Úbytek uživatelů by pro síť znamenal v první řadě úbytek směrovačů a také zhoršení bezpečnostních podmínek. V posledním bodě bylo upozorněno na nedostačující délku klíče RSA, která se používá při šifrování a také byl navržený jednoduchý program, který by blokoval síťovou komunikaci ostatních programů a tím zajistil lepší spojení se sítí.

SEZNAM POUŽITÉ LITERATURY

- [1] FEDERRATH, Hannes. *Designing privacy enhancing technologies: International Workshop on Design Issues in Anonymity and Unobservability, Berkeley, CA, USA, July 25-26, 2000 : proceedings*. New York: Springer, 2001. ISBN 35-404-1724-9.
- [2] INTERNET PROTOCOL: PROTOCOL SPECIFICATION [online]. 1981 [cit. 2018-05-17]. Dostupné z: <https://tools.ietf.org/html/rfc791>
- [3] COUFAL, Zdeněk a Libor POLČÁK. *Anonymizační síť Tor: Technická zpráva* [online],[cit.2018-05-17]. Dostupné z: <http://www.fit.vutbr.cz/research/pubs/index.php?file=%2Fpub%2F10626%2Ftr.pdf&id=10626>
- [4] WRIGHT, Jordan. *How Tor Works: Part One* [online]. 2015 [cit. 2018-05-18]. Dostupné z: <https://jordan-wright.com/blog/2015/02/28/how-tor-works-part-one/>
- [5] RESCORLA, E. a T. DIERKS. *The Transport Layer Security (TLS)*. EITF [online]. 2008, , 104 [cit. 2018-02-20]. Dostupné z: <https://tools.ietf.org/html/rfc5246>
- [6] DINGLELINE, Roger, Nick MATHEWSON a Steven MURDOCH. *Second-Generation Onion Router* [online]. 2014,21 [cit. 2018-02-05]. Dostupné z: <http://sec.cs.ucl.ac.uk/users/smurdoch/papers/tor14design.pdf>
- [7] Tor: Bridges [online]. 2018 [cit. 2018-05-18]. Dostupné z: <https://www.torproject.org/docs/bridges#PluggableTransports>
- [8] POLČÁK, Libor. *Základní informace o síti Tor* [online]. 2017, , 18 [cit. 2018-05-18].Dostupnéz:<http://www.fit.vutbr.cz/research/pubs/index.php?file=%2Fpub%2F11513%2Ftr.pdf&id=11513>
- [9] KADIANAKIS, George. *Packet Size Pluggable Transport and Traffic Morphing* [online]. 2012, , 7 [cit. 2018-05-18]. Dostupné z: <https://research.torproject.org/techreports/morpher-2012-03-13.pdf>
- [10] OREBAUGH, Angela. *Wireshark a Ethereal: kompletní průvodce analýzou a diagnostikou sítí*. Brno: Computer Press, 2008, 61 s. ISBN 978-802-5120-484.

- [11] *How to Use TRACERT to Troubleshoot TCP/IP Problems in Windows* [online]. [cit. 2018-05-18]. Dostupné z: <https://support.microsoft.com/EN-US/help/162326>
- [12] DINGLEDINE, Roger a Paul SYVERSON. *Tor: The Second-Generation Onion Router* [online]. 2014 [cit. 2018-05-18]. Dostupné z: <https://svn.torproject.org/svn/projects/design-paper/tor-design.html#>
- [13] KIRK, Jeremy. *Researcher: RSA 1024-bit Encryption not Enough* [online]. 2007 [cit. 2018-05-18]. Dostupné z: <https://www.pcworld.com/article/132184/article.html>
- [14] DINGLEDINE, Roger a Nick MATHEWSON. *Tor Protocol Specification* [online]. [cit. 2018-05-18]. Dostupné z: <https://gitweb.torproject.org/torspec.git/tree/tor-spec.txt>
- [15] COFFEY, Neil. *RSA key lengths* [online]. 2012 [cit. 2018-05-18]. Dostupné z: https://www.javamex.com/tutorials/cryptography/rsa_key_length.shtml
- [16] *TorStatus - Tor Network Status*. *TorStatus - Tor Network Status* [online]. Copyright © 2006 [cit. 13.05.2018]. Dostupné z: <https://torstatus.blutmagie.de/>
- [17] *Tor Metrics* [online]. The Tor Project, 2018 [cit. 2018-05-18]. Dostupné z: <https://metrics.torproject.org/networksize.html>
- [18] LUTHER, MARTIN. *Encryption is Very, Very Hard to Crack* [online]. 2015 [cit. 2018-05-18]. Dostupné z: <https://www.voltage.com/encryption/encryption-is-very-very-hard-to-crack/>
- [19] SpeedOf. *SpeedOf* [online]. [cit. 2018-05-18]. Dostupné z: <https://speedof.me/>
- [20] *Security Alert: Encryption is not very hard to crack* [online]. 2016 [cit. 2018-05-18]. Dostupné z: <https://steemit.com/encryption/@blockcodes/encryption-is-not-very-hard-to-crack-1024-bit-2048-bit-4096-bit-encryption-and-nsa-quantum-resistant-algorithm-encryption>
- [21] *Word City Map of Tor Nodes* [online]. 2018 [cit. 2018-05-18]. Dostupné z: <https://tormap.void.gr/>
- [22] *Shodan* [online]. 2018 [cit. 2018-05-20]. Dostupné z: <https://www.shodan.io/>

SEZNAM POUŽITÝCH SYMBOLŮ A ZKRATEK

TOR	THE ONION ROUTING
IP	INTERNET PROTOCOL
TLS	TRANSPORT LAYER SECURITY
RSA	Rivest–Shamir–Adleman
Curve25519	Označení pro Eliptickou křivku
DH	Diffieho-Hellmanova výměna klíčů

SEZNAM OBRÁZKŮ

<i>Obrázek č. 1 - Zapouzdření dat v síti [3]</i>	11
<i>Obrázek č. 2 - Typy uzlů v Tor síti [3]</i>	11
<i>Obrázek č. 3 - Tor směrovače ve světě [21]</i>	12
<i>Obrázek č. 4 – Blokování síťového provozu programem GlassWire</i>	15
<i>Obrázek č. 5 – Test internetového nastavení v prohlížeči Tor</i>	16
<i>Obrázek č. 6 – Lokalita IP adresy [22]</i>	16
<i>Obrázek č. 7 - Propojovací okruh v prvním testu</i>	17
<i>Obrázek č. 8 – Zachycená komunikace mezi zdrojem a prvním uzlem</i>	18
<i>Obrázek č. 9 – Zachycená komunikace prvního uzlu</i>	19
<i>Obrázek č. 10 – Komunikace mezi zdrojem a prostředním uzlem</i>	20
<i>Obrázek č. 11 – Zachycená komunikace prostředního uzlu</i>	20
<i>Obrázek č. 12 – Komunikace mezi zdrojem a výstupním uzlem</i>	20
<i>Obrázek č. 13 – Zachycená komunikace výstupního uzlu</i>	20
<i>Obrázek č. 14 – Propojovací okruh ve druhém testu</i>	21
<i>Obrázek č. 15 – Komunikace mezi zdrojem a vstupním uzlem</i>	22
<i>Obrázek č. 16 – Zachycená komunikace první uzlu v druhém testu</i>	22
<i>Obrázek č. 17 – Komunikace mezi zdrojem a prostředním uzlem</i>	23
<i>Obrázek č. 18 – Zachycená komunikace prostředního uzlu</i>	23
<i>Obrázek č. 19 – Komunikace mezi zdrojem a výstupním uzlem</i>	23
<i>Obrázek č. 20 – Zachycená komunikace výstupního uzlu</i>	23
<i>Obrázek č. 21 - Hledaný postraní kanál v komunikaci</i>	24
<i>Obrázek č. 22 – Filtrování IP adresy domény www.seznam.cz</i>	25
<i>Obrázek č. 23 – Zachycená komunikace</i>	25
<i>Obrázek č. 24 – Filtrování IP adresy domény centrum.cz</i>	25
<i>Obrázek č. 25 – Zachycená komunikace</i>	26
<i>Obrázek č. 26 – Princip komunikace [12]</i>	27
<i>Obrázek č. 27 – Test odezvy přes Tor prohlížeč 12:10 UTC [18]</i>	28
<i>Obrázek č. 28 – Odezva prvního uzlu v síti 12:10 UTC [18]</i>	28
<i>Obrázek č. 29 – Test odezvy přes Tor prohlížeč 17:40 UTC [18]</i>	29
<i>Obrázek č. 30 – Odezva prvního uzlu v síti 17:40 UTC</i>	29
<i>Obrázek č. 31 – Test odezvy přes Tor prohlížeč 22:40 UTC [18]</i>	30
<i>Obrázek č. 32 – Odezva prvního uzlu v síti 22:40 UTC</i>	30

<i>Obrázek č. 33 – Test odezvy přes Tor prohlížeč 6:15 UTC [18]</i>	<i>30</i>
<i>Obrázek č. 34 – Odezva prvního uzlu v síti 6:15 UTC</i>	<i>31</i>
<i>Obrázek č. 35 – Bezpečnost použitých délek klíčů [20]</i>	<i>34</i>

SEZNAM TABULEK

Tabulka č. 1 – Výsledky měření testů odezvy (Vlastní zpracování)31

Tabulka č. 2 – Výsledky měření testů Download/Upload (Vlastní zpracování)32